Differentialgleichungen II für Studierende der Ingenieurwissenschaften

Jens Struckmeier

Fachbereich Mathematik Universität Hamburg

Technische Universität Hamburg–Harburg
Sommersemester 2025

Inhalte der Vorlesung Differentialgleichungen II.

- Beispiele partieller Differentialgleichungen.
- 2 Partielle Differentialgleichungen 1. Ordnung.
- 3 Skalare Erhaltungsgleichungen.
- Partielle Differentialgleichungen 2. Ordnung.
- Normalformen und korrekt gestellte Probleme.
- O Die Laplacegleichung.
- Die Wärmeleitungs- oder Diffusionsgleichung.
- Oie Wellengleichung.
- Fourier-Methoden bei partiellen Differentialgleichungen.
- Numerische Lösung partieller Differentialgleichungen.

Kapitel 1. Was sind Partielle Differentialgleichungen?

1.1 Allgemeine Notationen

Definition: Eine Gleichung bzw. ein Gleichungssystem der Form

$$\mathbf{F}\left(\mathbf{x},\mathbf{u}(\mathbf{x}),\frac{\partial\mathbf{u}}{\partial x_1},\ldots,\frac{\partial\mathbf{u}}{\partial x_n},\ldots,\frac{\partial^p\mathbf{u}}{\partial x_1^p},\frac{\partial^p\mathbf{u}}{\partial x_1^{p-1}\partial x_2},\ldots,\frac{\partial^p\mathbf{u}}{\partial x_n^p}\right)=0$$

für eine gesuchte Funktion $\mathbf{u}:D\to\mathbb{R}^m,\ D\subset\mathbb{R}^n$ heißt ein System partieller Differentialgleichungen (PDGL) für die m Funktionen $u_1(\mathbf{x}),\ldots,u_m(\mathbf{x}).$

Tritt eine der partiellen Ableitungen p-ter Ordnung $\frac{\partial^p \mathbf{u}}{\partial x_1^{p_1} \dots \partial x_n^{p_n}}$ explizit auf, so spricht man von einer partiellen DGL der Ordnung p.

Typischerweise treten in Anwendungen (Systeme) partielle(r) Differentialgleichungen erster und zweiter Ordnung auf.

← ← □ ト ← □ ト ← □ ト ← □ ト ← □ ト ← □ ト ← □ ト ← □ ト ← □ ト □ ・ つ へ ○・

1.1 Allgemeine Notationen

Definition:

- a) Eine PDGL heißt linear, falls $F(\mathbf{x}, \mathbf{u}, ...)$ affin-linear in den Variablen $\mathbf{u}, \frac{\partial \mathbf{u}}{\partial \mathbf{x}_1}, ..., \frac{\partial^p \mathbf{u}}{\partial \mathbf{x}_2^p}$ ist.
- b) Eine PDGL heißt semilinear, falls $F(\mathbf{x}, \mathbf{u}, \dots)$ affin-linear in den Variablen $\frac{\partial^{p} \mathbf{u}}{\partial x_{1}^{p}}$, $\frac{\partial^{p} \mathbf{u}}{\partial x_{1}^{p-1} \partial x_{2}}$, ..., $\frac{\partial^{p} \mathbf{u}}{\partial x_{n}^{p}}$ ist und die Koeffizienten nur von $\mathbf{x} = (x_{1}, \dots, x_{n})^{T}$ abhängen.
- c) Eine PDGL heißt quasilinear, falls $F(\mathbf{x}, \mathbf{u}, \dots)$ affin-linear in den Variablen $\frac{\partial^p \mathbf{u}}{\partial x_1^p}, \frac{\partial^p \mathbf{u}}{\partial x_1^{p-1} \partial x_2}, \dots, \frac{\partial^p \mathbf{u}}{\partial x_n^p}$ ist. Die Koeffizienten können dann von $\left(\mathbf{x}, \mathbf{u}, \frac{\partial \mathbf{u}}{\partial x_1}, \dots, \frac{\partial^{p-1} \mathbf{u}}{\partial x_p^{p-1}}\right)$ abhängen.
- d) Eine PDGL nennt man nichtlinear, wenn sie nichtlinear von den höchsten Ableitungen abhängt.

Beispiele.

Eine skalare lineare PDGL 1. Ordnung in zwei Variablen ist

$$a_1(x, y)u_x + a_2(x, y)u_y + b(x, y)u = c(x, y)$$

• Eine skalare quasilineare PDGL 1. Ordnung in zwei Variablen ist

$$a_1(x, y, u)u_x + a_2(x, y, u)u_y = g(x, y, u)$$

• Eine semilineares PDGL-System 2. Ordnung in *n* Variablen ist

$$\sum_{i,j=1}^{n} a_{ij}(x_1,\ldots,x_n) \mathbf{u}_{x_i x_j} = b(x_1,\ldots,x_n,\mathbf{u},\mathbf{u}_{x_1},\ldots,\mathbf{u}_{x_n})$$

Eine nichtlineare skalare PDGL 1. Ordnung in zwei Variablen ist

$$(u_x)^2 + (u_y)^2 = f(x, y, u, u_x \cdot u_y)$$

- 4 ロ ト 4 昼 ト 4 夏 ト 4 夏 ト 9 Q ()

Eine Bemerkung zur allgemeinen Notation bei PDGL.

In Anwendungen treten typischerweise Ortsvariablen $\mathbf{x} = (x_1, \dots, x_n)^T$ (oft n = 3) sowie die Zeitvariable $t \in \mathbb{R}$ auf.

Wir betrachten dann die allgemeine PDGL der Form

$$\mathbf{F}\left(\mathbf{x},t,\mathbf{u}(\mathbf{x},t),\frac{\partial\mathbf{u}}{\partial x_1},\ldots,\frac{\partial\mathbf{u}}{\partial t},\ldots,\frac{\partial^{\mathbf{p}}\mathbf{u}}{\partial x_1^{\mathbf{p}}},\frac{\partial^{\mathbf{p}}\mathbf{u}}{\partial x_1^{\mathbf{p}-1}\partial x_2},\ldots,\frac{\partial^{\mathbf{p}}\mathbf{u}}{\partial t^{\mathbf{p}}}\right)=0$$

in (n+1) Variablen. Differentialoperatoren wie etwa

$$\nabla$$
, div, rot oder Δ

beziehen sich dann stets auf die n Ortsvariablen, zum Beispiel

$$\operatorname{div} u = \sum_{i=1}^{n} \frac{\partial u}{\partial x_i}$$

$$\Delta u = \sum_{i=1}^{n} \frac{\partial^2 u}{\partial x_i^2}$$



Kapitel 1. Was sind Partielle Differentialgleichungen?

1.2 Motivation: Wieso Partielle Differentialgleichungen?

Der Reynoldsche Transportsatz:

Zur Zeit t=0 nehme eine physikalische Größe (Ladung, Fluid etc.) die beschränkte und offene Menge $D_0 \subset \mathbb{R}^n$ ein.

Die Funktion $\Phi(\mathbf{y},t)$ beschreibe die Veränderung des Punktes $\mathbf{y}\in D_0$ in der Zeit,

$$\Phi: D_0 \times [0, T] \to D_t \subset \mathbb{R}^n,$$

sodass

$$D_t := \{\Phi(\mathbf{y}, t) : \mathbf{y} \in D_0\}$$

Die Trajektorie von $\mathbf{y} \in D_0$ ist die Abbildung $t \to \Phi(\mathbf{y}, t) \in D_T$ und

$$\frac{\partial}{\partial t}\Phi(\mathbf{y},t)=:\mathbf{v}(\Phi(\mathbf{y},t),t)$$

bezeichne das Geschwindigkeitsfeld v der physikalischen Größe.

◆ロ > ◆回 > ◆ き > ◆ き > り へ ○

Der Reynoldsche Transportsatz.

Satz: Für eine beliebige differenzierbare, skalare Funktion $f: D_t \times [0, T] \to \mathbb{R}$ gilt:

$$\frac{d}{dt} \int_{D_t} f(\mathbf{x}, t) d\mathbf{x} = \int_{D_t} \left\{ \frac{\partial}{\partial t} f + \operatorname{div}(f \mathbf{v}) \right\} (\mathbf{x}, t) d\mathbf{x}$$

Beweisidee: Sei $J(\mathbf{y},t) = \det(D_{\mathbf{y}}\Phi(\mathbf{y},t))$ die Jacobi-Matrix von $\Phi(\mathbf{y},t)$ bzgl. \mathbf{y} . Transformiere damit D_t auf D_0 :

$$\int_{D_t} f(\mathbf{x}, t) d\mathbf{x} = \int_{D_0} f(\Phi(\mathbf{y}, t), t) J(\mathbf{y}, t) d\mathbf{y}$$

Berechne dann die zeitliche Ableitung der rechten Seite

$$\frac{d}{dt} \int_{D_0} f(\Phi(\mathbf{y}, t), t) J(\mathbf{y}, t) d\mathbf{y}$$

und transformiere zurück auf das zeitabhängige Gebiet D_t .

◆ロト ◆個ト ◆意ト ◆意ト · 意 · からぐ

Die Kontinuitätsgleichung.

Sei $u(\mathbf{x},t)$ die Massendichte einer physikalischen Größe und es gelte ein Erhaltungsprinzip der Form

$$\frac{d}{dt}\int_{D_t}u(\mathbf{x},t)\,d\mathbf{x}=0$$

Dann folgt aus dem Reynoldschen Transportsatz

$$\int_{D_{t}}\left\{ \frac{\partial}{\partial t}u+\operatorname{div}\left(u\mathbf{v}\right)\right\} \left(\mathbf{x},t\right) d\mathbf{x}=0$$

Da D_t eine beliebige Teilmenge des \mathbb{R}^n ist, folgt die Differentialgleichung

$$\frac{\partial}{\partial t}u(\mathbf{x},t)+\operatorname{div}(u\mathbf{v})(\mathbf{x},t)=0$$

Diese Gleichung wird als Kontinuitätsgleichung bezeichnet.



Kontinuitätsgleichung und entsprechende Flußfunktion.

Schreibt die Kontinuitätsgleichung mit Hilfe der Flußfunktion $q(\mathbf{x},t)$

$$\frac{\partial}{\partial t}u(\mathbf{x},t)+\operatorname{div}(\mathbf{q}(\mathbf{x},t))=0,$$

so ergibt sich eine Gleichung für zwei unbekannte Funktionen $u(\mathbf{x},t)$ und $\mathbf{q}(\mathbf{x},t)$.

Mathematische Modellierung:

$$\mathbf{q}(\mathbf{x},t) = \mathbf{q}(u(\mathbf{x},t),\nabla u(\mathbf{x},t),\dots)$$

Einfachster Modellierungsansatz: Der Fluß ${f q}$ ist proportional zur Dichte u

$$\mathbf{q}(x,t) = \mathbf{a} \cdot u(x,t)$$
 mit einem $\mathbf{a} \in \mathbb{R}^n$

Daraus folgt die sogenannte lineare Transportgleichung oder auch lineare Advektionsgleichung

$$\frac{\partial}{\partial t}u(\mathbf{x},t)+\mathbf{a}\cdot\nabla u(\mathbf{x},t)=0$$

- 4 ロ ト 4 個 ト 4 差 ト 4 差 ト - 差 - 夕 Q ()

Beispiel: Die Wärmeleitungs- oder Diffusionsgleichung.

Die Dichte u(x, t) beschreibe

- 1 die Konzentration eines chemischen Stoffes,
- 2 die Temperatur eines Körpers oder
- 3 ein elektrostatisches Potential.

Physikalische Modellierung: der Fluß \mathbf{q} ist proportional zum Gradienten der Dichte u, zeigt allerdings in die entgegengesetzte Richtung,

$$\mathbf{q}(x,t) := -a\nabla u(x,t)$$
 für ein $a > 0$

Daraus folgt

$$\frac{\partial}{\partial t}u(\mathbf{x},t)+\operatorname{div}\left(-a\nabla u(x,t)\right)=0$$

und damit die PDGL

$$\frac{\partial}{\partial t}u(\mathbf{x},t)=a\Delta u(x,t)$$

ロ ト 4 個 ト 4 差 ト 4 差 ト 9 Q (C)

Fortsetzung des Beispiels.

Setzen wir a=1, so erhalten wir die klassische Wärmeleitungsgleichung oder auch lineare Diffusionsgleichung

$$\frac{\partial}{\partial t}u(\mathbf{x},t)=\Delta u(x,t)$$

Die Abschlußrelation

$$\mathbf{q}(x,t) = -a\nabla u(x,t)$$
 mit einem $a > 0$

nennt man dabei entweder

- 1 das Ficksche Gesetz der Diffusion,
- 2 das Fouriersche Gesetz der Wärmeleitung oder
- 3 das Ohmsche Gesetz der elektrischen Ladung.

Beachte: Drei unterschiedliche physikalische Probleme liefern eine identische partielle Differentialgleichung.



Beispiel: Die Laplace- und Poissongleichung.

Ist die Lösung der Wärmeleitungsgleichung unabhängig von der Zeit t, i.e.

$$\frac{\partial}{\partial t}u(\mathbf{x},t)=0$$

so erhält man die Laplacegleichung

$$\Delta u(x) = 0$$

Lösungen dieser Gleichung nennt man harmonische Funktionen.

Die Gleichung

$$-\Delta u(x) = f$$

mit gegebener Funktion f, nennt man Poissongleichung.

Hierbei beschreibt die Inhomogenität etwa eine vorgegebene räumliche Ladungsverteilung f und die Lösung u das dadurch erzeugte Potential.

→□▶→□▶→■▶ ● りへで

Kapitel 2: Partielle Differentialgleichungen 1. Ordnung

2.1 Die Methode der Charakteristiken

Wir betrachten zunächst eine skalare quasilineare PDGL 1. Ordnung gegeben durch

$$\sum_{i=1}^n a_i(\mathbf{x},u)u_{\mathsf{x}_i} = b(\mathbf{x},u) \qquad \text{mit } \mathbf{x} \in \mathbb{R}^n.$$

Eine Lösung kann durch die Charakteristikenmethode berechnet werden, wobei wir zunächst den homogenen und linearen Fall betrachten.

Definition: Das autonome System gewöhnlicher Differentialgleichungen

$$\dot{\mathbf{x}}(t) = \mathbf{a}(\mathbf{x}(t))$$

heißt das charakteristische Differentialgleichungssystem einer homogenen linearen PDGL

$$\sum_{i=1}^n a_i(\mathbf{x}) u_{\mathbf{x}_i} = 0 \qquad \text{mit } \mathbf{x} \in \mathbb{R}^n.$$

→ロト→□ト→ミト→ミト ミ かへで

2.1 Die Methode der Charakteristiken

Wir berechnen nun

$$\frac{d}{dt}u(\mathbf{x}(t)) = \sum_{i=1}^n a_i(\mathbf{x}(t))u_{x_i}(\mathbf{x}(t)) = 0$$

Fazit:

Die Funktion $u(\mathbf{x})$ ist genau dann eine Lösung der homogenen linearen PDGL, wenn u entlang jeder Lösung $\mathbf{x}(t)$ des charakteristischen Differentialgleichungssystems konstant ist,

$$u(\mathbf{x}(t)) = \text{const.}$$

Definition: Man nennt die Lösung $u(\mathbf{x})$ dann ein erstes Integral des charakteristischen Differentialgleichungssystems.

Die Methode der Charakteristiken ist also nichts anderes als eine Zurückführung der gegebenen PDGL auf gewöhnliche DGL's.



Beispiel.

Wir betrachten die PDGL in drei Variablen

$$xu_x + yu_y + (x^2 + y^2)u_z = 0$$

Das charakteristische Differentialgleichungssystem lautet

$$\dot{x} = x
\dot{y} = y
\dot{z} = x^2 + y^2$$

und besitzt die allgemeine Lösung

$$x(t) = c_1 e^t$$

$$y(t) = c_2 e^t$$

$$z(t) = \frac{1}{2} (c_1^2 + c_2^2) e^{2t} + c_3$$

Man nennt diese Lösungen auch die charakteristischen Kurven.



Fortsetzung des Beispiels.

Für die Lösung der Ausgangsgleichung gilt damit

$$u(x(t), y(t), z(t)) = u\left(c_1e^t, c_2e^t, \frac{1}{2}(c_1^2 + c_2^2)e^{2t} + c_3\right) = \text{const.}$$

Die charakteristischen Kurven erfüllen aber die Beziehungen

$$e^t = x(t)/c_1 = y(t)/c_2 \quad \Rightarrow \quad y(t)/x(t) = c_2/c_1 = c \in \mathbb{R}$$

und

$$z(t) = \frac{1}{2}(x^2 + y^2) + c_3 \quad \Rightarrow \quad z(t) - \frac{1}{2}(x(t)^2 + y(t)^2) = d \in \mathbb{R}$$

d.h. allein die beiden Konstanten c und d definieren den Wert von u entlang der charakteristischen Kurven. Daraus folgt die Lösungdarstellung

$$u(x, y, z) = \Phi\left(\frac{y}{x}, z - \frac{1}{2}(x^2 + y^2)\right)$$

mit einer beliebigen C^1 -Funktion $\Phi: \mathbb{R}^2 \to \mathbb{R}$.

Quasilineare inhomogene Differentialgleichungen.

Die Methode der Charakteristiken läßt sich auf Gleichungen der Form

$$\sum_{i=1}^n a_i(\mathbf{x}, u) u_{\mathbf{x}_i} = b(\mathbf{x}, u), \qquad \mathbf{x} \in \mathbb{R}^n$$

übertragen.

Man betrachtet dazu das erweiterte Problem

$$\sum_{i=1}^n a_i(\mathbf{x}, u) U_{\mathsf{x}_i} + b(\mathbf{x}, u) U_u = 0, \qquad \mathbf{x} \in \mathbb{R}^n$$

mit der unbekannten Funktion $U = U(\mathbf{x}, u)$ von (n+1) unabhängigen Variablen \mathbf{x} und u.

Dann gilt: Ist $U(\mathbf{x}, u)$ eine Lösung mit $U_u \neq 0$, so ist durch $U(\mathbf{x}, u) = 0$ implizit eine Lösung $u = u(\mathbf{x})$ des Ausgangsproblems gegeben.



Beweis der letzten Aussage.

Gilt $U_u \neq 0$, so läßt die Funktion U(x, u) nach dem Satz über implizite Funktionen nach $u(\mathbf{x})$ auflösen. Wegen $U(\mathbf{x}, u) = 0$ gilt dann

$$U_{x_i}+U_uu_{x_i}=0$$

Ferner haben wir

$$\sum_{i=1}^n a_i(\mathbf{x}, u) U_{\mathbf{x}_i} + b(\mathbf{x}, u) U_u = 0$$

und daraus folgt

$$-\left(\sum_{i=1}^n a_i(\mathbf{x},u)u_{x_i}\right)U_u+b(\mathbf{x},u)U_u=0$$

Wir erhalten also mit $U_u \neq 0$ die Differentialgleichung

$$\sum_{i=1}^n a_i(\mathbf{x}, u) u_{x_i} = b(\mathbf{x}, u)$$



Beispiel.

Gesucht ist die allgemeine Lösung der quasilinearen Gleichung

$$(1+x)u_x - (1+y)u_y = y - x$$

Das erweiterte Problem lautet dann

$$(1+x)U_x - (1+y)U_y + (y-x)U_u = 0$$

Das charakteristische Differentialgleichungssystem ist

$$\dot{x} = 1 + x
\dot{y} = -(1 + y)
\dot{u} = y - x$$

mit der allgemeinen Lösung

$$x(t) = c_1 e^t - 1$$

$$y(t) = c_2 e^{-t} - 1$$

$$u(t) = c_3 - c_2 e^{-t} - c_1 e^t$$

Fortsetzung des Beispiels.

Wir verfahren wie im letzten Beispiel und lösen das charakteristische System auf:

$$e^t = \frac{x+1}{c_1} = \frac{c_2}{y+1} \implies (x+1)(y+1) = c_1 \cdot c_2 = c \in \mathbb{R}$$

und

$$u = c_3 - (x+1) - (y+1)$$
 \Rightarrow $u + x + y = d \in \mathbb{R}$

Wieder bestimmen alleine die beiden Konstanten c und d das Lösungsverhalten.

Daraus folgt die allerdings implizite Lösungdarstellung

$$\Phi\Big((x+1)(y+1),u+x+y\Big)=0$$

mit einer beliebigen C^1 -Funktion $\Phi: \mathbb{R}^2 \to \mathbb{R}$.

Beachte: Im Gegensatz zu linearen Gleichungen erhält man bei quasilinearen Gleichungen keine explizite Lösungsdarstellung und die Lösung existiert gegebenenfalls nur lokal.

←□▶←□▶←□▶←□▶
□ ●

Kapitel 2: Partielle Differentialgleichungen 1. Ordnung

2.2 Anfangswertprobleme bei Gleichungen 1. Ordnung

Wir betrachten nun den in Anwendungen häufig auftretenden Fall einer Zeitvariablen t und n Ortsvariablen $\mathbf{x} \in \mathbb{R}^n$.

Definition: Das auf ganz \mathbb{R}^n definierte Anfangswertproblem

$$\begin{cases} u_t + \sum_{i=1}^n a_i(\mathbf{x}, t, u) u_{x_i} = b(\mathbf{x}, t, u) & \text{in } \mathbb{R}^n \times (0, \infty) \\ u = u_0 & \text{auf } \mathbb{R}^n \times \{t = 0\} \end{cases}$$

bezeichnet man als ein Cauchy-Problem.

Zum Zeitpunkt t = 0 ist die Anfangsbedingung

$$u(\mathbf{x},0)=u_0(\mathbf{x})$$

explizit vorgegeben.

Die konkreten Lösungen lassen sich dann wiederum mit Hilfe des Charakteristikenverfahrens berechnen.

- (ロ) (個) (重) (重) (重) 9(0)

Beispiel: Die Transportgleichung.

Ein typisches Beispiel ist die Transportgleichung aus Kapitel 1

$$\begin{cases} u_t + \mathbf{a} \cdot \nabla u = 0 & \text{in } \mathbb{R}^n \times (0, \infty) \\ u = u_0 & \text{auf } \mathbb{R}^n \times \{t = 0\} \end{cases}$$

mit dem konstanten Vektor $\mathbf{a} \in \mathbb{R}^n$. Verwenden wir hier die Methode der Charakteristiken, so erhalten wir zunächst die (n+1) Differentialgleichungen

$$\frac{dt}{d au} = 1, \qquad \frac{d\mathbf{x}}{d au} = \mathbf{a}$$

und wir können ohne Einschränkung $t=\tau$ annehmen. Die Lösung der zweiten Gleichung lautet dann

$$\mathbf{x}(t) = \mathbf{x}_0 + \mathbf{a} \cdot t$$

mit einer Anfangsbedingung $\mathbf{x}(0) = \mathbf{x}_0$.

Die charakteristischen Kurven sind also gerade Geraden, die zur Zeit t=0 den Punkt \mathbf{x}_0 durchlaufen und in Richtung \mathbf{a} laufen.

Fortsetzung des Beispiels.

Möchte man die Lösung an einem Punkt (\mathbf{x},t) bestimmen, so sucht man zunächst die zugehörige Charakteristik, die durch diesen Punkt läuft und den Wert \mathbf{x}_0 zur Zeit t=0:

$$\mathbf{x} = \mathbf{x}_0 + \mathbf{a}t \quad \Rightarrow \quad \mathbf{x}_0 = \mathbf{x} - \mathbf{a}t$$

Da die Lösung entlang der Charakteristiken konstant bleibt, folgt sofort die Lösungsdarstellung

$$u(\mathbf{x},t)=u_0(\mathbf{x}-\mathbf{a}t)$$

Interpretation dieser Lösung:

Das gegebene Anfangsprofil $u_0(\mathbf{x})$ wird mit der konstanten Geschwindigkeit $\mathbf{a} \in \mathbb{R}^n$ weitertransportiert, ohne seine Form zu ändern.

Probe: Es gilt:

$$u_t(\mathbf{x},t) = -\mathbf{a}\nabla u_0, \ \nabla u(\mathbf{x},t) = \nabla u_0 \quad \Rightarrow \quad u_t + \mathbf{a} \cdot \nabla u = 0$$



Beispiel.

Wir betrachten das Anfangswertproblem

$$\left\{ \begin{array}{ll} u_t + txu_x = 0 & \text{in } \mathbb{R} \times (0, \infty) \\ \\ u = \sin x & \text{auf } \mathbb{R} \times \{t = 0\} \end{array} \right.$$

Die charakteristische Gleichung lautet

$$\dot{x} = tx, \qquad x(0) = x_0$$

und besitzt die Lösung

$$x(t) = x_0 \exp\left(\frac{t^2}{2}\right)$$

Daraus folgt die Lösung des Anfangswertproblems

$$u(x,t) = \sin\left[x \exp\left(-\frac{t^2}{2}\right)\right]$$

∢ロト ∢間 ▶ ∢ ≣ ▶ ∢ ≣ ▶ りへで

Problem: Lösungen existieren nur lokal in der Zeit.

Wir kehren zu dem anfangs definierten Cauchy-Problem zurück,

$$\begin{cases} u_t + \sum_{i=1}^n a_i(\mathbf{x}, t, u) u_{x_i} = b(\mathbf{x}, t, u) & \text{in } \mathbb{R}^n \times (0, \infty) \\ u = u_0 & \text{auf } \mathbb{R}^n \times \{t = 0\} \end{cases}$$

Das charakteristische System lautet

$$\dot{\mathbf{x}} = \mathbf{a}(\mathbf{x}, t, u)$$
 $\dot{u} = b(\mathbf{x}, t, u)$

$$\dot{u} = b(\mathbf{x}, t, u)$$

mit den Anfangsbedingungen $\mathbf{x}(0) = \mathbf{x}_0$ und $u(0) = u_0(\mathbf{x}_0)$.

Dies ist ein nichtlineares Differentialgleichungssystem, das unter Umständen nur lokale Lösungen in der Zeit besitzt.

Im Allgemeinen erhalten wir nur lokale Lösungen in der Zeit.



Nichtlineare skalare Erhaltungsgleichungen.

Eine wichtige Klasse von partiellen Differentialgleichungen 1. Ordnung sind die nichtlinearen skalaren Erhaltungsgleichungen in einer Raumdimension.

Das zugehörige Cauchy-Problem lautet

$$\begin{cases} u_t + f(u)_x = 0 & \text{in } \mathbb{R} \times (0, \infty) \\ u = u_0 & \text{auf } \mathbb{R} \times \{t = 0\} \end{cases}$$

Die gegebene Funktion f = f(u) nennt man die Flußfunktion.

Solche Differentialgleichungen sind quasilinear, denn eine andere Darstellung der PDGL ist

$$u_t + a(u)u_x = 0$$

$$mit \ a(u) = f'(u).$$

Man nennt die Funktion a(u) auch in Analogie zur Transportgleichung die lokale Ausbreitungsgeschwindigkeit.

4 D > 4 D > 4 E > 4 E > E 900

Die Burgers Gleichung.

Die Burgers Gleichung (Johannes Martinus Burgers, 1895–1981, niederländischer Physiker) ist eine Erhaltungsgleichung mit Flußfunktion $f(u)=u^2/2$ und das zugehörige Cauchy–Problem lautet

$$\left\{ \begin{array}{ll} u_t + uu_x = 0 & \text{in } \mathbb{R} \times (0, \infty) \\ \\ u = u_0 & \text{auf } \mathbb{R} \times \{t = 0\} \end{array} \right.$$

Wir wählen die Anfangsbedingung

$$u_0(x) = \begin{cases} 1 & : & x \le 0 \\ 1 - x & : & 0 < x < 1 \\ 0 & : & x \ge 1 \end{cases}$$

und verwenden die Methode der Charakteristiken, um die Lösung zu bestimmen.

Die charakteristische Gleichung lautet

$$\dot{x}=u, \quad x(0)=x_0$$



Die Burgers Gleichung: Charakteristische Kurven.

Da die Lösung der Burgers Gleichung entlang der Kurve x(t) konstant bleibt, gilt

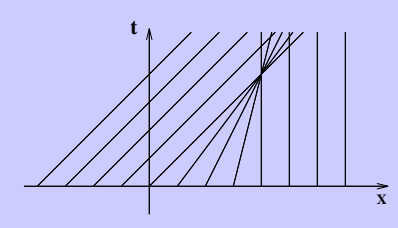
$$\dot{x} = u_0(x_0) \quad \Rightarrow \quad x(t) = x_0 + tu_0(x_0)$$

Das sieht zwar harmlos aus, ist es aber keineswegs!

Mit der gegebenen Anfangsbedingung $u_0(x)$ erhalten wir

$$x(t) = \begin{cases} t + x_0 & : & x_0 \le 0 \\ (1 - x_0)t + x_0 & : & 0 < x_0 < 1 \\ x_0 & : & x_0 \ge 1 \end{cases}$$

Das zugehörige Bild der charakteristischen Kurven



Die Burgers Gleichung: Singularität der Lösung.

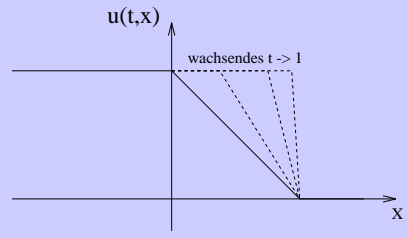
Zur Zeit t=1 laufen unendlich viele Kurven durch den Punkt x=1, d.h. im Punkt (x,t)=(1,1) ist die Lösung nicht mehr eindeutig.

In der Tat existiert die klassische Lösung der Burgers Gleichung mit der angegebenen Anfangsbedingung nur lokal in der Zeit für $0 \le t < 1$.

Für $t \in [0,1)$ ist die Lösung gegeben durch

$$u(x,t) = \begin{cases} 1 & : & x < t \\ (1-x)/(1-t) & : & 0 \le t \le x < 1 \\ 0 & : & x > 1 \end{cases}$$

Das zugehörige Bild der Lösung für verschiedene $t \in [0,1)$:



Kapitel 2: Partielle Differentialgleichungen 1. Ordnung

2.3 Skalare Erhaltungsgleichungen

Das Cauchy-Problem

$$\begin{cases} u_t + f(u)_x = 0 & \text{in } \mathbb{R} \times (0, \infty) \\ u = u_0 & \text{auf } \mathbb{R} \times \{t = 0\} \end{cases}$$

hat im Allgemeinen keine globale Lösung.

Die Burgers Gleichung aus dem letzten Abschnitt mit der Anfangsbedingung

$$u_0(x) = \begin{cases} 1 & : & x \le 0 \\ 1 - x & : & 0 < x < 1 \\ 0 & : & x \ge 1 \end{cases}$$

besitzt nur auf dem Zeitintervall [0,1) die klassische Lösung

$$u(x,t) = \begin{cases} 1 & : & x < t \\ (1-x)/(1-t) & : & 0 \le t \le x < 1 \\ 0 & : & x > 1 \end{cases}$$

Frage: Was passiert für $t \ge 1$?

Sei $v: \mathbb{R} \times [0, \infty) \to \mathbb{R}$ eine differenzierbare Funktion mit kompaktem Träger.

Multiplizieren wir $u_t + f(u)_x = 0$ mit v und integrieren über $\mathbb{R} \times [0, \infty)$, so erhalten wir

$$0 = \int_0^\infty \int_{-\infty}^\infty (u_t + f(u)_x) v dx dt$$
$$= -\int_0^\infty \int_{-\infty}^\infty u v_t dx dt - \int_{-\infty}^\infty u_0(x) v(x, 0) dx - \int_0^\infty \int_{-\infty}^\infty f(u) v_x dx dt$$

Mit der Anfangsbedingung $u(x,0) = u_0(x)$ ergibt sich

$$\int_0^\infty \int_{-\infty}^\infty (uv_t + f(u)v_x) dxdt + \int_{-\infty}^\infty u_0(x)v(x,0)dx = 0$$

Schwache Lösungen, Integrallösungen.

Definition: Eine differenzierbare Funktion $v: \mathbb{R} \times [0, \infty) \to \mathbb{R}$ mit kompaktem Träger nennt man auch eine Testfunktion.

Definition: Eine Funktion $u \in L^{\infty}(\mathbb{R} \times [0,\infty))$ nennt man eine Integrallösung oder schwache Lösung, falls die Beziehung

$$\int_0^\infty \int_{-\infty}^\infty (uv_t + f(u)v_x) dxdt + \int_{-\infty}^\infty u_0(x)v(x,0)dx = 0$$

für alle Testfunktionen v erfüllt ist.

Bemerkung: Eine Integrallösung muß keine differenzierbare Funktion sein, sondern kann sogar Sprungstellen besitzen.

Riemannprobleme

Definition: Das Anfangswertproblem

$$\begin{cases} u_t + f(u)_x = 0 & \text{in } \mathbb{R} \times (0, \infty) \\ u = u_0 & \text{auf } \mathbb{R} \times \{t = 0\} \end{cases}$$

mit der unstetigen Anfangsbedingung

$$u_0(x) = \begin{cases} u_l & : & x \le 0 \\ u_r & : & x > 0 \end{cases}$$

nennt man ein Riemannproblem für skalare Erhaltungsgleichungen.

Beispiel: Ein Riemannproblem für die Burgers Gleichung lautet

$$\begin{cases} u_t + uu_x = 0 & \text{in } \mathbb{R} \times (0, \infty) \\ u = u_0 & \text{auf } \mathbb{R} \times \{t = 0\} \end{cases}$$

mit der unstetigen Anfangsbedingung

$$u_0(x) = \begin{cases} u_I & : & x \le 0 \\ u_r & : & x > 0 \end{cases}$$

|ロト 4回 ト 4 E ト 4 E ト 9 Q C |

Integrallösungen beim Riemannproblem.

Stoßwellenlösung bei der Burgers Gleichung.

Für $u_l \neq u_r$ ist die sogenannte Stoßwelle

$$u(x,t) = \begin{cases} u_l : & x \leq s(t) \\ u_r : & x > s(t) \end{cases}$$

eine Integrallösung.

Dabei bezeichnet die Funktion s(t) die Lage der Stoßfront, d.h. der Unstetigkeitsstelle oder Sprungstelle.

Die Stoßfront bewegt sich mit der Geschwindigkeit $\dot{s}(t)$ wobei

$$\dot{s}(t) = \frac{[f]}{[u]} = \frac{f(u_l) - f(u_r)}{u_l - u_r}$$

und s(0) = 0 ist.

Diese Beziehung nennt man die Rankine-Hugoniot Bedingung.



Integrallösungen beim Riemannproblem.

Verdünnungswelle bei der Burgers Gleichung.

Für $u_l < u_r$ ist die sogenannte Verdünnungswelle eine Integrallösung

$$u(x,t) = \begin{cases} u_l : & x \leq u_l t \\ \frac{x}{t} : & u_l t \leq x \leq u_r t \\ u_r : & x \geq u_r t \end{cases}$$

Man beachte, dass die Lösung u(x, t) eine stetige Funktion ist.

Die Lösung ist entlang der Geraden $x = u_l t$ und $x = u_r t$ aber nicht differenzierbar und daher nur eine Integrallösung.

Bemerkung: Für $u_l < u_r$ stellt sich die Frage, welche der Lösungen (Stoßwelle oder Verdünnungswelle) physikalisch von Bedeutung ist. Es wird sich zeigen, dass nur die Verdünnungswelle relevant ist.

- (ロ) (個) (E) (E) E の(C)

Beschreibung der Stoßwellenlösung.

Definition: Eine Stoßwellenlösung u ist eine Integrallösung der Erhaltungsgleichung

$$u_t + f(u)_x = 0,$$

wenn eine sogenannte Stoßfront x = s(t), $s \in \mathcal{C}^1$ existiert, sodass u jeweils für x < s(t) und x > s(t) eine klassische Lösung der PDE ist und u bei x = s(t) eine Sprungstelle mit Sprunghöhe

$$[u](t) = u(s(t)^+, t) - u(s(t)^-, t)$$

besitzt. Die Größe $\dot{s}(t)$ nennt man die Stoßgeschwindigkeit.

Satz: Ist x = s(t) die Stoßfront einer Stoßwellenlösung von $u_t + f(u)_x = 0$, so gilt für die Stoßgeschwindigkeit \dot{s} die Rankine-Hugoniot Bedingung

$$\dot{s} = \frac{[f]}{[u]} = \frac{f(u(s(t)^-, t)) - f(u(s(t)^+, t))}{u(s(t)^-, t) - u(s(t)^+, t)}$$

◆ロト ◆個ト ◆意ト ◆意ト · 意 · から○

Herleitung der Rankine-Hugoniot Bedingung.

Eine Integrallösung erfüllt die Beziehung

$$\frac{d}{dt}\int_{x_1}^{x_2} u(\xi,t)d\xi = f(u(x_1,t)) - f(u(x_2,t))$$

Wählen wir $x_1 < s(t) < x_2$ so folgt:

$$\frac{d}{dt}\left(\int_{x_1}^{s(t)} u(\xi,t)d\xi + \int_{s(t)}^{x_2} u(\xi,t)d\xi\right) = f(u(x_1,t)) - f(u(x_2,t))$$

Da u(x,t) für x < s(t) und x > s(t) nach Definition eine differenzierbare Lösung ist, können wir unter den beiden Integralen ableiten:

$$\int_{s_1}^{s(t)} \frac{\partial u}{\partial t} d\xi + \dot{s} \, u(s(t)^-, t) + \int_{s(t)}^{s_2} \frac{\partial u}{\partial t} d\xi - \dot{s} \, u(s(t)^+, t) + f_2 - f_1 = 0$$

4□ > 4□ > 4 = > 4 = > = 90

Fortsetzung der Herleitung.

Also

$$\int_{x_1}^{s(t)} \frac{\partial u}{\partial t} \mathrm{d}\xi + \dot{s} \, u(s(t)^-, t) + \int_{s(t)}^{x_2} \frac{\partial u}{\partial t} \mathrm{d}\xi - \dot{s} \, u(s(t)^+, t) + f_2 - f_1 = 0$$

mit

$$f_1 := f(u(x_1, t)), \qquad f_2 := f(u(x_2, t))$$

Im Grenzfall $x_1 \to s(t)^-$ und $x_2 \to s(t)^+$ verschwinden die Integrale und wir erhalten

$$\dot{s} u(s(t)^-, t) - \dot{s} u(s(t)^+, t) = f(u(s(t)^-)) - f(u(s(t)^+))$$

Dies ist aber gerade die Rankine-Hugoniot Bedingung in der Form

$$\dot{s} = \frac{[f]}{[u]}$$



Beispiel.

Wir betrachten die Burgers Gleichung mit der unstetigen Anfangsbedingung

$$u_0(x) = \begin{cases} u_l & : & x \le 0 \\ u_r & : & x > 0 \end{cases}$$

und $u_l > u_r$.

Die Rankine-Hugoniot Bedingung lautet

$$\dot{s} = \frac{[f]}{[u]} = \frac{u_I^2/2 - u_r^2/2}{u_I - u_r} = \frac{(u_I - u_r)(u_I + u_r)}{2(u_I - u_r)} = \frac{1}{2}(u_I + u_r)$$

Damit lautet die Stoßwellenlösung dieses Problems

$$u(x,t) = \begin{cases} u_l : & x \leq \frac{1}{2}(u_l + u_r) t \\ u_r : & x > \frac{1}{2}(u_l + u_r) t \end{cases}$$

→ロト→□ト→ミト→ミト ミ からぐ

Wir betrachten das Riemannproblem

$$\begin{cases} u_t + f(u)_x = 0 & \text{in } \mathbb{R} \times (0, \infty) \\ u = u_0 & \text{auf } \mathbb{R} \times \{t = 0\} \end{cases}$$

mit der unstetigen Anfangsbedingung

$$u_0(x) = \begin{cases} u_l & : & x \le 0 \\ u_r & : & x > 0 \end{cases}$$

wobei nun $u_l < u_r$ gelte.

Zusätzlich nehmen wir an, dass $f \in C^2(\mathbb{R})$ und f'' > 0 gilt, die Flussfunktion sei also **strikt konvex**.

Schließlich setzen wir noch

$$g := (f')^{-1}$$



Nach Annahme ist die Flussfunktion f strikt konvex, d.h. f' ist streng monoton wachsend. Also gilt:

$$u_l < u_r \quad \Rightarrow \quad f'(u_l) < f'(u_r)$$

Es gibt daher genau zwei Typen von Charakteristiken, nämlich

$$x(t) = x_0 + f'(u_l) t$$
 und $x(t) = x_0 + f'(u_r) t$

Diese beiden Kurvenscharen füllen aber **nicht** den ganzen Raum $\mathbb{R} \times \mathbb{R}_+$ aus, sondern es entsteht ein Bereich Ω , der nicht durchlaufen wird,

$$\Omega := \{(x,t) \in \mathbb{R} \times \mathbb{R}_+ : f'(u_l) \cdot t < x < f'(u_r) \cdot t\}$$

In Ω liefert die Methode der Charakteristiken keine Werte und wir können im Prinzip die Lösung auf Ω mit einer beliebigen Integrallösung füllen.

- 4 ロ b 4 個 b 4 き b 4 き b 9 Q C

Satz: Für $u_l < u_r$ ist die Verdünnungswelle gegeben durch

$$u(x,t) := \begin{cases} u_l & : & x < f'(u_l)t \\ g(x/t) & : & f'(u_l)t < x < f'(u_r)t \\ u_r & : & x > f'(u_r)t \end{cases}$$

eine Integrallösung des Riemannproblems. Insbesondere ist die Verdünnungswelle eine stetige Funktion.

Beweis: Wir zeigen zunächst, dass die angegebene Funktion in den beiden Punkten

$$x = f'(u_I) t$$
 und $x = f'(u_r) t$

stetig ist. Es gilt

$$g\left(\frac{f'(u_I)t}{t}\right) = g(f'(u_I)) = (f')^{-1}(f'(u_I)) = u_I$$

◆ロト ◆母 ト ◆ 差 ト ◆ 差 ・ り へ ○

sowie

$$g\left(\frac{f'(u_r)t}{t}\right) = g(f'(u_r)) = (f')^{-1}(f'(u_r)) = u_r$$

Weiter ist die Verdünnungswelle konstant für $x < f'(u_l) t$ und $x > f'(u_r) t$ und löst daher die vorgegebene Erhaltungsgleichung.

Für $f'(u_l)t < x < f'(u_r)t$ berechnet man

$$u_t = -\frac{x}{t^2}g'(x/t)$$

$$f(u)_x = f(g(x/t))_x = f'(g(x/t))\frac{g'(x/t)}{t} = \frac{x}{t^2}g'(x/t)$$

Daraus folgt, dass g(x/t) ebenfalls die Gleichung $u_t + f(u)_x = 0$ löst.

Mit der Stetigkeit folgt daraus, dass die Verdünnungswelle tatsächlich eine Integrallösung ist.

Problem: Integrallösungen sind nicht eindeutig!

Beispiel: Wir betrachten wieder die Burgers Gleichung mit der Anfangsbedingung

$$u_0(x) = \left\{ \begin{array}{lcl} 0 & : & x \le 0 \\ 1 & : & x > 0 \end{array} \right.$$

Dann existieren zum Beispiel die beiden Integrallösungen

$$u_1(x,t) = \begin{cases} 0 : x \le t/2 \\ 1 : x > t/2 \end{cases}$$

und

$$u_2(x,t) = \begin{cases} 0 : x < 0 \\ x/t : 0 \le x \le t \\ 1 : x > t \end{cases}$$

Die erste Lösung ist eine Stoßwelle, die zweite eine Verdünnungswelle.

Frage: Welche der beiden Lösungen ist die physikalisch richtige?

∢ロ > ∢回 > ∢ 亘 > ∢ 亘 > り へ ⊙

Entropiebedingung und Entropielösungen.

Welche der beiden ist die physikalisch richtige Lösung?

Man benötigt eine Zusatzbedingung, die die physikalisch richtige Integrallösung aussucht.

Definition: Eine Integrallösung heißt Entropielösung, falls die Lösung die folgende Entropiebedingung (Lax–Oleinik–Bedingung) erfüllt:

 $\exists \ C > 0$, sodass für alle $x, z \in \mathbb{R}$, t > 0 mit z > 0 gilt

$$u(t,x+z)-u(t,x)<\frac{C}{t}z$$

Satz: Erfüllt eine Integrallösung die oben angegebene Entropiebedingung, so ist diese Lösung eindeutig, d.h. Entropielösungen sind eindeutige Lösungen.

Bemerkung: In unserem letzten Beispiel erfüllt die Verdünnungswelle die obige Entropiebedingung.



Kapitel 3. Partielle Differentialgleichungen 2. Ordnung

Definition: Eine lineare PDGL 2. Ordnung in *n* Variablen ist gegeben durch

$$\sum_{i,j=1}^{n} a_{ij} u_{x_i x_j} + \sum_{i=1}^{n} b_i u_{x_i} + fu = g$$

Dabei sind die Terme a_{ij}, b_i, f und g Funktionen von $\mathbf{x} = (x_1, \dots, x_n)^T$. Den ersten Term nennt man den Hauptteil der PDGL. Weiter gelte oBdA

$$a_{ij}(\mathbf{x}) = a_{ji}(\mathbf{x}), \quad i, j = 1, \ldots, n$$

Spezialfall: Gilt $a_{ij} = \text{const.}$, i, j = 1, ..., n, so läßt sich die PDGL auch in folgender Matrixschreibweise darstellen:

$$(\nabla^T \mathbf{A} \nabla) u + (\mathbf{b}^T \nabla) u + \mathbf{f} u = \mathbf{g}$$

mit der symmetrischen Matrix $\mathbf{A} = (a_{ij})_{i,j=1,...,n}$.



Kapitel 3. Partielle Differentialgleichungen 2. Ordnung

3.1 Normalformen linearer Gleichungen 2. Ordnung

Gegeben sei die Differentialgleichung in Matrixschreibweise

$$(\nabla^T \mathbf{A} \nabla) u + (\mathbf{b}^T \nabla) u + f u = g$$

mit der konstanten und symmetrischen Matrix $\mathbf{A} = (a_{ij})_{i,j=1,...,n}$.

Lineare Algebra: Hauptachsentransformation

Satz: Jede reelle, symmetrische Matrix A ist diagonalisierbar. Weiterhin gilt

$$D = S^{-1}AS$$

wobei S als eine orthogonale Matrix gewählt werden kann.

Erinnerung: Eine reelle Matrix S ist orthogonal, falls gilt:

$$S^{-1} = S^T$$

Ansatz zur Herleitung von Normalformen.

Verwende die Koordinatentransformation $\mathbf{x} = \mathbf{S}\mathbf{y}$ bzw. $\mathbf{y} = \mathbf{S}^T \mathbf{x}$ und setze

$$\tilde{u}(\mathbf{y}) := u(\mathbf{S}\,\mathbf{y})$$

Mit $u(\mathbf{x}) = \tilde{u}(\mathbf{S}^T \mathbf{x})$ folgt

$$\frac{\partial u}{\partial x_i} = \sum_{j=1}^{n} \frac{\partial \tilde{u}}{\partial y_j} \frac{\partial y_j}{\partial x_i}$$

und wegen $\frac{\partial y_j}{\partial x_i} = s_{ij}$ gilt

$$\frac{\partial u}{\partial x_i} = \sum_{j=1}^n s_{ij} \frac{\partial \tilde{u}}{\partial y_j}$$

Die letzte Beziehung bedeutet aber gerade:

$$\nabla_{\mathbf{x}} u(\mathbf{x}) = \mathbf{S} \nabla_{\mathbf{y}} \tilde{u}(\mathbf{S}^{\mathsf{T}} \mathbf{x})$$

oder in formaler Schreibweise $\nabla_x = \mathbf{S} \nabla_v$. Transponieren wir dies, so folgt

$$\nabla_{x}^{T} = (\mathbf{S} \nabla_{y})^{T} = \nabla_{y}^{T} S^{T}$$

Diagonalform einer PDGL 2. Ordnung.

Ergebnis: Löst u die Gleichung $(\nabla^T \mathbf{A} \nabla) u + (\mathbf{b}^T \nabla) u + f u = g$, so erhalten wir für \tilde{u} die PDGL

$$(\nabla^T \mathbf{S}^T \mathbf{A} \mathbf{S} \, \nabla) \tilde{u} + (\mathbf{b}^T \mathbf{S} \, \nabla) \tilde{u} + \tilde{f} \, \tilde{u} = \tilde{g}$$

Definition: Gegeben sei die partielle Differentialgleichung 2. Ordnung

$$(\nabla^T \mathbf{A} \nabla) u + (\mathbf{b}^T \nabla) u + f u = g$$

mit der konstanten und symmetrischen Matrix $\mathbf{A} = (a_{ij})_{i,j=1,...,n}$.

Dann ist die zugehörige Diagonalform der PDGL gegeben durch

$$(\nabla^T \mathbf{D} \, \nabla) \tilde{u} + ((\mathbf{S}^T \tilde{\mathbf{b}})^T \nabla) \tilde{u} + \tilde{f} \, \tilde{u} = \tilde{g}$$

mit der Diagonalmatrix $\mathbf{D} = \mathbf{S}^T \mathbf{A} \mathbf{S}$ mit $\mathbf{S}^T \mathbf{S} = \mathbf{I}$ sowie

$$\tilde{\mathbf{b}}(\mathbf{y}) = \mathbf{b}(\mathbf{S}\,\mathbf{y}), \quad \tilde{f}(\mathbf{y}) = f(\mathbf{S}\,\mathbf{y}) \quad \text{und} \quad \tilde{g}(\mathbf{y}) = g(\mathbf{S}\,\mathbf{y}).$$

◆ロト ◆団 ト ◆ 豆 ト ◆ 豆 ・ 夕 Q (*)

Ein Beispiel zu Diagonalformen.

Wir betrachten den Fall von zwei unabhängigen Variablen

$$a_{11}\frac{\partial^{2} u}{\partial x_{1}^{2}} + a_{12}\left(\frac{\partial^{2} u}{\partial x_{2}\partial x_{1}} + \frac{\partial^{2} u}{\partial x_{1}\partial x_{2}}\right) + a_{22}\frac{\partial^{2} u}{\partial x_{2}^{2}} +$$

$$b_{1}(x_{1}, x_{2})\frac{\partial u}{\partial x_{1}} + b_{2}(x_{1}, x_{2})\frac{\partial u}{\partial x_{2}} + f(x_{1}, x_{2})u = g(x_{1}, x_{2})$$

Definieren wir den Vektor $\tilde{\mathbf{p}}$ als

$$\tilde{\mathbf{p}} = \mathbf{S}^T \tilde{\mathbf{b}}$$

mit einer orthogonalen Matrix S, so lautet die Diagonalform

$$\lambda_1 \frac{\partial^2 \tilde{u}}{\partial y_1^2} + \lambda_2 \frac{\partial^2 \tilde{u}}{\partial y_2^2} + \tilde{p}_1 \frac{\partial \tilde{u}}{\partial y_1} + \tilde{p}_2 \frac{\partial \tilde{u}}{\partial y_2} + \tilde{f} \tilde{u} = \tilde{g}$$

Beachte: Die Transformation auf Diagonalform ist keineswegs eindeutig, die beiden Koeffizienten des Hauptterms sind aber stets die Eigenwerte von **A**.

◆ロト ◆個ト ◆ 恵ト ◆ 恵 ◆ りへで

Klassifikation partieller Differentialgleichungen 2. Ordnung.

Definition: Gegeben sei die partielle Differentialgleichung 2. Ordnung

$$(\nabla^T \mathbf{A} \nabla) u + (\mathbf{b}^T \nabla) u + \mathbf{f} u = \mathbf{g}$$

mit der konstanten und symmetrischen Matrix $\mathbf{A} = (a_{ij})_{i,j=1,...,n}$.

- a) Sind sämtliche Eigenwerte von A von Null verschieden und besitzen sie einheitliche Vorzeichen, so nennt man die Gleichung elliptisch.
- b) Sind sämtliche Eigenwerte von $\bf A$ von Null verschieden, wobei ein Eigenwert ein anderes Vorzeichen als die übrigen n-1 Eigenwerte besitzt, so nennt man die Gleichung hyperbolisch.
- c) Ist mindestens ein Eigenwert von **A** gleich Null, so nennt man die Gleichung parabolisch.

Beispiel: Die partielle Differentialgleichung 2. Ordnung in Diagonalform heißt

- a) elliptisch, falls $\lambda_1 \cdot \lambda_2 > 0$ ist;
- b) hyperbolisch, falls $\lambda_1 \cdot \lambda_2 < 0$ ist;
- c) parabolisch, falls $\lambda_1 \cdot \lambda_2 = 0$ ist.



Bemerkung.

Die Typeneinteilung läßt sich auf Fälle mit nichtkonstanter Koeffizientenmatrix **A** erweitern. Zum Beispiel hat die Gleichung

$$yu_{xx}-u_{xy}-u_{yx}+xu_{yy}=0$$

die Koeffizientenmatrix

$$\mathbf{A} = \left(\begin{array}{cc} y & -1 \\ -1 & x \end{array} \right)$$

Die Eigenwerte von A sind definiert über die beiden Gleichungen

spur
$$A = x + y = \lambda_1 + \lambda_2$$
 und det $A = xy - 1 = \lambda_1 \cdot \lambda_2$

Die PDGL ist also

- parabolisch auf der Hyperbel xy = 1;
- elliptisch in den beiden konvexen Bereichen xy > 1;
- hyperbolisch im zusammenhängenden Bereich xy < 1.



Normalformen von PDGL 2. Ordnung.

Definition:

a) Die Normalform einer elliptischen Differentialgleichung in nVariablen $\mathbf{x} = (x_1, \dots, x_n)^T$ ist

$$-\Delta u + \sum_{i=1}^{n} b_i u_{x_i} + f u = g$$

b) Die Normalform einer hyperbolischen Differentialgleichung in (n+1) Variablen $(\mathbf{x}, t) = (x_1, \dots, x_n, t)^T$ ist

$$u_{tt} - \Delta u + \sum_{i=1}^{n} b_i u_{x_i} + f u = g$$

c) Die Normalform einer parabolischen Differentialgleichung in (n+1) Variablen $(\mathbf{x},t)=(x_1,\ldots,x_n,t)^T$ ist

$$-\Delta u + b_0 u_t + \sum_{i=1}^n b_i u_{x_i} + f u = g$$



Kapitel 3. Partielle Differentialgleichungen 2. Ordnung

3.2 Korrekt gestellte Probleme

Definition: Ein korrekt gestelltes Problem besteht aus einer in einem Gebiet definierten partiellen Differentialgleichung zusammen mit einer gewissen Menge von Anfangs– und/oder Randbedingungen, so dass die folgenden Eigenschaften erfüllt sind:

- Existenz: Es existiert wenigstens eine Lösung, die alle Bedingungen erfüllt.
- 2 Eindeutigkeit: Die Lösung ist eindeutig.
- Stabilität: Die Lösung hängt stetig von den Anfangs- bzw. Randbedingungen ab.

Beispiel: Das Anfangswertproblem für die eindimensionale Wellengleichung

$$\left\{ \begin{array}{ll} u_{tt} - u_{xx} = 0 & \text{in } \mathbb{R} \times [0, \infty) \\ \\ u = u_0, u_t = v_0 & \text{auf } \mathbb{R} \times \{t = 0\} \end{array} \right.$$

ist ein korrekt gestelltes hyperbolisches Problem.



Beispiel: Die eindimensionale Wellengleichung.

Die eindeutig bestimmte Lösung ist durch die Formel von d'Alembert gegeben

$$u(x,t) = \frac{1}{2} \Big(u_0(x-t) + u_0(x+t) \Big) + \frac{1}{2} \int_{x-t}^{x+t} v_0(\xi) \, d\xi$$

Sei nun $\tilde{u}(x,t)$ die Lösung zu den Anfangsdaten $(\tilde{u}_0,\tilde{v}_0)$. Dann gilt

$$\tilde{u}(x,t) - u(x,t) = \frac{1}{2} \left(\tilde{u}_0(x-t) - u_0(x-t) \right) + \frac{1}{2} \left(\tilde{u}_0(x+t) - u_0(x+t) \right) \\
+ \frac{1}{2} \int_{x-t}^{x+t} \left(\tilde{v}_0(\xi) - v_0(\xi) \right) d\xi$$

Daraus folgt aber die stetige Abhängigkeit von den Daten

$$|\tilde{u}(x,t) - u(x,t)| \le ||\tilde{u}_0 - u_0||_{\infty} + t||\tilde{v}_0 - v_0||_{\infty}$$



Beispiel: Anfangswertaufgabe für die Laplacegleichung.

Jacques Hadamard, 1865–1963, französischer Mathematiker.

Das Anfangswertproblem für die zweidimensionale Laplacegleichung

$$\begin{cases} u_{xx} + u_{yy} = 0 & \text{in } \mathbb{R} \times [0, \infty) \\ u = u_0, u_y = v_0 & \text{auf } \mathbb{R} \times \{y = 0\} \end{cases}$$

ist ein nicht korrekt gestelltes elliptisches Problem.

Setzen wir $u_0(x) = v_0(x) = 0$, so ist die eindeutig bestimmte Lösung

$$u(x,y)=0$$

Lauten die Anfangsdaten dagegen

$$u_0^n(x) = 0$$
, $v_0^n(x) = \frac{1}{n}\sin(nx)$ mit $n \in \mathbb{N}$,

so ist die eindeutig bestimme Lösung zu den Anfangsdaten (u_0^n, v_0^n)

$$u^n(x,y) = \frac{1}{n^2} \sin(nx) \sinh(ny)$$



Fortsetzung des Beispiels.

Nun gilt

$$\lim_{n\to\infty}u_0^n=u_0\qquad \lim_{n\to\infty}v_0^n=v_0$$

Vergleicht man aber beide Lösungen, so ergibt sich wegen

$$\lim_{n\to\infty} \frac{1}{n^2} \sinh(ny) = \infty \qquad \text{für } y > 0,$$

das Grenzverhalten

$$\lim_{n\to\infty}u^n(x,y)\neq u(x,y)$$

d.h. die Lösung hängt nicht stetig von den Anfangsdaten ab.

Beispiel: Randwertaufgabe für die Laplacegleichung.

Das Randwertproblem für die zweidimensionale Laplacegleichung

$$\left\{ \begin{array}{l} u_{xx} + u_{yy} = 0 & \text{in } \{(x,y) \in \mathbb{R}^2 \, | \, x^2 + y^2 < 1\} \\ u = g & \text{auf } \{(x,y) \in \mathbb{R}^2 \, | \, x^2 + y^2 = 1\} \end{array} \right.$$

ist ein korrekt gestelltes elliptisches Problem.

Die eindeutig bestimmte Lösung ist durch die

Poissonsche Integralformel

gegeben

$$u(x,y) = \frac{1 - x^2 - y^2}{2\pi} \int_{\|\mathbf{z}\| = 1} \frac{g(\mathbf{z})}{\|\mathbf{x} - \mathbf{z}\|^2} d\sigma$$

und hängt stetig von den Randdaten g(x, y) auf dem Rand $x^2 + y^2 = 1$ ab.

◆ロト ◆個ト ◆ 種ト ◆ 種 ト ■ り へ ○

Kapitel 4. Die Laplacegleichung

In diesem Kapitel beschäftigen wir uns mit der Laplacegleichung

$$\Delta u = 0$$

für $u=u(\mathbf{x})$, $\mathbf{x}\in D\subset \mathbb{R}^n$ offen, und der zugehörigen Poissongleichung

$$-\Delta u = f$$

mit vorgegebener rechten Seite $f = f(\mathbf{x})$.

Definition: Eine C^2 -Funktion $u = u(\mathbf{x})$, die die Laplacegleichung erfüllt, d.h. es gilt

$$\Delta u = 0$$
,

nennt man eine harmonische Funktion.

Bedeutung:

- Mittelwerteigenschaft, Maximumprinzipien etc.;
- 2 Komplexe Funktionen: analytische Funktionen, Satz von Liouville etc.

Kapitel 4. Die Laplacegleichung

4.1 Die Fundamentallösung

Wir versuchen zunächst, eine explizite Lösung der Laplacegleichung zu berechnen, mit Hilfe der wir weitere Lösungsdarstellungen ableiten können.

Beobachtung: Der Laplaceoperator Δ ist invariant gegenüber Rotationen in \mathbb{R}^n

Lösungsansatz: Wir suchen eine Funktion u(x), die nur vom Abstand ||x|| zum Ursprung abhängt.

$$u(\mathbf{x}) = v(r), \quad r = ||\mathbf{x}|| = (x_1^2 + \dots + x_n^2)^{1/2}$$

Man rechnet leicht nach

$$\frac{\partial r}{\partial x_i} = \frac{1}{2} (x_1^2 + \dots + x_n^2)^{-1/2} 2x_i = \frac{x_i}{r} \quad (x \neq 0)$$

und damit gilt für $i = 1, \dots, n$

$$u_{x_i} = v'(r)\frac{x_i}{r}, \quad u_{x_i x_i} = v''(r)\frac{x_i^2}{r^2} + v'(r)\left(\frac{1}{r} - \frac{x_i^2}{r^3}\right)$$

4 D > 4 D > 4 E > 4 E > E 990

4.1 Die Fundamentallösung

Wir erhalten also

$$\Delta u = v''(r) + \frac{n-1}{r}v'(r)$$

und mit $\Delta u = 0$ ergibt sich die gewöhnliche Differentialgleichung

$$v''(r) + \frac{n-1}{r}v'(r) = 0$$

Setzen wir $w = v' \neq 0$, so löst w die lineare Differentialgleichung

$$w' = -\frac{n-1}{r}w$$

Die allgemeine Lösung dieser Gleichung ist gegeben durch

$$w(r) = \frac{\alpha}{r^{n-1}}$$

mit einer Konstanten $\alpha \in \mathbb{R}$. Für v(r) gilt demnach

$$v' = \frac{\alpha}{r^{n-1}}$$



Die Fundamentallösung der Laplacegleichung.

Die Gleichung für v können wir integrieren und bekommen damit eine Lösung in der Form

$$v(r) = \begin{cases} -b \log r + c & (n=2) \\ \frac{b}{r^{n-2}} + c & (n \ge 3) \end{cases}$$

mit den beiden Konstanten b und c.

Definition: Die Funktion

$$\Phi(\mathbf{x}) = \begin{cases} -\frac{1}{2\pi} \log \|\mathbf{x}\| & (n=2) \\ \frac{1}{n(n-2)\alpha(n)} \|\mathbf{x}\|^{2-n} & (n \ge 3) \end{cases}$$

definiert für $\mathbf{x} \in \mathbb{R}^n$, $\mathbf{x} \neq 0$, nennt man die Fundamentallösung der Laplacegleichung. Die Konstante $\alpha(n)$ bezeichnet dabei das Volumen der Einheitskugel im \mathbb{R}^n .

Eine Anwendung: Lösungsformel für die Poissongleichung.

Bemerkung: Die Fundamentallösung ist für alle $\mathbf{x} \in \mathbb{R}^n$ mit $\mathbf{x} \neq 0$ eine harmonische Funktion.

Beispiel: Für $\mathbf{x} \in \mathbb{R}^3$ gilt vol $(K_1(0)) = \alpha(3) = 4\pi/3$ und somit ist die Fundamentallösung gegeben durch

$$\Phi(\mathbf{x}) = \frac{1}{4\pi} \, \frac{1}{\|\mathbf{x}\|}$$

Satz: Eine Lösung der Poissongleichung

$$-\Delta u = f$$

auf dem Ganzraum $\mathbf{x} \in \mathbb{R}^n$ ist gegeben durch

$$u(\mathbf{x}) = \int_{\mathbb{D}^n} \Phi(\mathbf{x} - \mathbf{y}) f(\mathbf{y}) \, d\mathbf{y}$$

4□ > 4□ > 4 = > 4 = > = 90

Kapitel 4. Die Laplacegleichung

4.2 Eigenschaften harmonischer Funktionen

Mittelwerteigenschaft: Der Funktionswert einer harmonischen Funktion an einem Punkt \mathbf{x} ist stets gleich dem Mittelwert von u über eine Kugel mit Mittelpunkt \mathbf{x} bzw. der zugehörigen Sphäre um \mathbf{x} . Genauer:

Satz: Sei $U \subset \mathbb{R}^n$ eine offene Menge. Ist $u \in C^2(U)$ harmonisch in U, so gilt

$$u(\mathbf{x}) = \int_{\partial B(\mathbf{x},r)} u \, dS = \int_{B(\mathbf{x},r)} u \, d\mathbf{y}$$

für jede Kugel $B(\mathbf{x}, r) \subset U$.

Notation: Bei Mittelungen über die Kugel oder die Sphäre schreiben wir

$$f \cdots = \frac{1}{\operatorname{vol}(B(\mathbf{x}, r))} \int \cdots$$

◆ロト ◆個 ト ◆ 重 ト ◆ 重 ・ 夕 Q C ・

Beweis der Mittelwerteigenschaft.

Für ein festes $\mathbf{x} \in U$ definieren wir die Funktion $\phi(r)$ mittels

$$\phi(r) := \int_{\partial B(\mathbf{x},r)} u(\mathbf{y}) \, dS(\mathbf{y}) = \int_{\partial B(0,1)} u(\mathbf{x} + r\mathbf{z}) \, dS(\mathbf{z})$$

Dann gilt

$$\phi'(r) = \int_{\partial B(0,1)} Du(\mathbf{x} + r\mathbf{z}) \cdot \mathbf{z} \, dS(\mathbf{z})$$

und mit Hilfe der Greenschen Formeln erhalten wir

$$\phi'(r) = \int_{\partial B(\mathbf{x},r)} Du(\mathbf{y}) \cdot \frac{\mathbf{y} - \mathbf{x}}{r} dS(\mathbf{y})$$
$$= \int_{\partial B(\mathbf{x},r)} \frac{\partial u}{\partial \mathbf{n}} dS(\mathbf{y})$$
$$= \frac{r}{n} \int_{B(\mathbf{x},r)} \Delta u(\mathbf{y}) d\mathbf{y} = 0$$

Fortsetzung des Beweises.

Damit ist ϕ konstant und es gilt

$$\phi(r) = \lim_{t \to 0} \phi(t) = \lim_{t \to 0} \int_{\partial B(\mathbf{x}, t)} u(\mathbf{y}) \, dS(\mathbf{y}) = u(\mathbf{x})$$

Unter Verwendung von Polarkoordinaten erhalten wir schließlich

$$\int_{B(\mathbf{x},r)} u \, d\mathbf{y} = \int_0^r \left(\int_{\partial B(\mathbf{x},s)} u \, dS \right) ds$$
$$= u(\mathbf{x}) \int_0^r n\alpha(n) s^{n-1} ds = \alpha(n) r^n u(\mathbf{x})$$

Damit ergibt sich gerade die Mittelwertformel

$$u(\mathbf{x}) = \frac{1}{\alpha(n)r^n} \int_{B(\mathbf{x},r)} u \, d\mathbf{y}$$

◆ロ → ◆御 → ◆ 三 → ◆ 三 ・ 夕 ○ ○

Umkehrung der Mittelwerteigenschaft.

Satz: Für die Funktion $u \in C^2(U)$ gelte für jede Kugel $B(\mathbf{x}, r) \subset U$ die Mitteleigenschaft

$$u(\mathbf{x}) = \int_{\partial B(\mathbf{x},r)} u dS.$$

Daraus folgt, dass u auf U harmonisch ist.

Beweis: Ist $\Delta u \neq 0$, so existiert eine Kugel $B(\mathbf{x}, r) \subset U$, sodass

$$\Delta u > 0$$
 oder $\Delta u < 0$

innerhalb von $B(\mathbf{x}, r)$ gilt.

Wir wissen aber, dass

$$\phi'(r) = \frac{r}{n} \int_{B(\mathbf{x},r)} \Delta u(\mathbf{y}) \, d\mathbf{y} = 0.$$

Dies liefert einen Widerspruch, also ist u harmonisch auf U.



Das Maximumprinzip harmonischer Funktionen.

Satz: Sei $u \in C^2(U) \cap C(\overline{U})$ harmonisch in U. Dann gilt:

1) Das Maximumprinzip

$$\max_{\mathbf{x}\in\overline{U}}u(\mathbf{x})=\max_{\mathbf{x}\in\partial U}u(\mathbf{x})$$

2) Das starke Maximumprinzip Ist U zusammenhängend und existiert ein Punkt $\mathbf{x}_0 \in U$ mit

$$u(\mathbf{x}_0) = \max_{\mathbf{x} \in \overline{U}} u(\mathbf{x})$$

so folgt, dass u auf U konstant ist.

Beweisidee: Verwende auf geeignete Weise die Mittelwerteigenschaft harmonischer Funktionen.

Eine wichtige Anwendung des Maximumsprinzips bei partiellen Differentialgleichungen: Lösungen von elliptischen Randwertaufgaben sind eindeutig.

4□ > 4□ > 4□ > 4 = > 4 = > 1

Eine Anwendung: Elliptische Randwertaufgaben.

Satz: Sei $g \in \mathcal{C}(\partial U)$, $f \in \mathcal{C}(U)$. Dann existiert höchstens eine Lösung $u \in \mathcal{C}^2(U) \cap \mathcal{C}(\overline{U})$ des Randwertproblems

$$\left\{ \begin{array}{rcl} -\Delta u & = & f & \text{in } U \\ u & = & g & \text{auf } \partial U \end{array} \right.$$

Beweis: Seien u_1 und u_2 zwei Lösungen. Dann löst $w=\pm(u_1-u_2)$ das Randwertproblem

$$\left\{ \begin{array}{rcl} -\Delta u & = & 0 & \text{in } U \\ u & = & 0 & \text{auf } \partial U \end{array} \right.$$

Aus dem Maximumprinzip folgt dann direkt

$$w=\pm(u_1-u_2)=0$$

identisch auf U und daher gilt $u_1 = u_2$.



Weitere Aussagen zur Mittelwerteigenschaft und dem Maximumprinzip.

Es gelten die folgenden Aussagen.

- Erfüllt eine stetige Funktion $u \in \mathcal{C}(U)$ auf einer offenen Menge $U \subset \mathbb{R}^n$ für jede Kugel $B(\mathbf{x}, r) \subset U$ die Mittelwerteigenschaft, so ist u unendlich oft differenzierbar, d.h. $u \in \mathcal{C}^{\infty}(U)$.
- Satz von Liouville Ist die Funktion $u: \mathbb{R}^n \to \mathbb{R}$ harmonisch auf \mathbb{R}^n und beschränkt, so ist u auf ganz \mathbb{R}^n konstant.
- Beschränkte Lösungen der Poissongleichung Sei $f \in \mathcal{C}^2_c(\mathbb{R}^n)$, $n \geq 3$. Dann hat jede beschränkte Lösung der Poissongleichung $-\Delta u = f$ in \mathbb{R}^n die Form

$$u(\mathbf{x}) = \int_{\mathbb{R}^n} \Phi(\mathbf{x} - \mathbf{y}) f(\mathbf{y}) d\mathbf{y} + C$$

mit einer Konstanten C.



Kapitel 4. Die Laplacegleichung

4.3 Die Greensche Funktion

Definition:

a) Das Randwertproblem

$$\begin{cases}
-\Delta u = f & \text{in } U \\
u = g & \text{auf } \partial U
\end{cases}$$

nennt man das Dirichlet-Problem der Poissongleichung (bzw. der Laplacegleichung, falls f = 0).

b) Das Randwertproblem

$$\begin{cases} -\Delta u = f & \text{in } U \\ \frac{\partial u}{\partial n} = g & \text{auf } \partial U \end{cases}$$

nennt man das Neumann-Problem der Poissongleichung (bzw. der Laplacegleichung, falls f = 0).

Hierbei bezeichnet n die äußere Normale an ∂U .



4.3 Die Greensche Funktion

Proposition: Sei $u \in \mathcal{C}^2(\overline{U})$, $U \subset \mathbb{R}^n$ offen, eine beliebige Funktion. Dann gilt für alle Punkte $\mathbf{x} \in U$ die Beziehung

$$u(\mathbf{x}) = \int_{\partial U} \left(\Phi(\mathbf{y} - \mathbf{x}) \frac{\partial u}{\partial \mathbf{n}} (\mathbf{y}) - u(\mathbf{y}) \frac{\partial \Phi}{\partial \mathbf{n}} (\mathbf{y} - \mathbf{x}) \right) dS(\mathbf{y})$$
$$- \int_{U} \Phi(\mathbf{y} - \mathbf{x}) \Delta u(\mathbf{y}) d\mathbf{y}$$

Dabei ist die Funktion Φ die Fundamentallösung der Laplacegleichung. Man kann also jeden Funktionswert $u(\mathbf{x})$ bestimmen, wenn man die Werte von Δu in U sowie u und $\partial u/\partial \mathbf{n}$ entlang des Randes ∂U kennt.

Man beweist den Satz mit Hilfe der Greenschen Formeln aus Analysis III.

Anwendung auf Randwertprobleme der Laplace— und Poissongleichung: Wir können im Prinzip die Lösung an jedem Punkt berechnen, aber benötigen dazu Randdaten sowohl für u als auch die Ableitung $\partial u/\partial \mathbf{n}$.

→ □ ▶ → □ ▶ → □ ▶ → □ → りへぐ

Definition der Greenschen Funktion.

Definition: Sei $U \subset \mathbb{R}^n$ offen und $\Phi^{\mathsf{x}}(\mathsf{y})$ für festes $\mathsf{x} \in U$ die Lösung des Dirichlet-Problems

$$\left\{ \begin{array}{rcl} \Delta \Phi^x & = & 0 & \text{in } U \\ \Phi^x & = & \Phi(\mathbf{y} - \mathbf{x}) & \text{auf } \partial U \end{array} \right.$$

Dann ist die Greensche Funktion auf U gegeben durch

$$G(\mathbf{x},\mathbf{y}) := \Phi(\mathbf{y} - \mathbf{x}) - \Phi^{\mathsf{x}}(\mathbf{y})$$

und definiert für $\mathbf{x}, \mathbf{y} \in U$ mit $\mathbf{x} \neq \mathbf{y}$.

Satz: Sei $u \in C^2(\bar{U})$ eine Lösung des Dirichlet-Problems der Poissongleichung. Dann läßt sich u in der Form

$$u(\mathbf{x}) = -\int_{\partial U} g(\mathbf{y}) \frac{\partial G}{\partial \mathbf{n}}(\mathbf{x}, \mathbf{y}) dS(\mathbf{y}) + \int_{U} f(\mathbf{y}) G(\mathbf{x}, \mathbf{y}) d\mathbf{y} \quad (\mathbf{x} \in U)$$

darstellen.

Beweis des Satzes.

Nach obiger Proposition hatten wir die Lösungsdarstellung

$$u(\mathbf{x}) = \int_{\partial U} \left(\Phi(\mathbf{y} - \mathbf{x}) \frac{\partial u}{\partial \mathbf{n}} (\mathbf{y}) - u(\mathbf{y}) \frac{\partial \Phi}{\partial \mathbf{n}} (\mathbf{y} - \mathbf{x}) \right) dS(\mathbf{y})$$
$$- \int_{U} \Phi(\mathbf{y} - \mathbf{x}) \Delta u(\mathbf{y}) d\mathbf{y}$$

Das Problem dabei war, dass uns beim Dirichlet-Problem die Randdaten von $\partial u/\partial \mathbf{n}$ nicht bekannt sind.

Nach den Greenschen Formeln gilt aber

$$-\int_{U} \Phi^{x}(\mathbf{y}) \Delta u(\mathbf{y}) d\mathbf{y} = \int_{\partial U} u(\mathbf{y}) \frac{\partial \Phi^{x}}{\partial \mathbf{n}}(\mathbf{y}) - \Phi^{x}(\mathbf{y}) \frac{\partial u}{\partial \mathbf{n}}(\mathbf{y}) dS(\mathbf{y})$$

und daher

$$\int_{\partial U} \Phi^{\mathsf{x}}(\mathbf{y}) \frac{\partial u}{\partial \mathbf{n}}(\mathbf{y}) dS(\mathbf{y}) = \int_{U} \Phi^{\mathsf{x}}(\mathbf{y}) \Delta u(\mathbf{y}) d\mathbf{y} + \int_{\partial U} u(\mathbf{y}) \frac{\partial \Phi^{\mathsf{x}}}{\partial \mathbf{n}}(\mathbf{y}) dS(\mathbf{y})$$

Fortsetzung des Beweises.

Aus der Randbedingung $\Phi^{x}(\mathbf{y}) = \Phi(\mathbf{y} - \mathbf{x})$ folgt

$$\int_{\partial U} \Phi(\mathbf{y} - \mathbf{x})(\mathbf{y}) \frac{\partial u}{\partial \mathbf{n}}(\mathbf{y}) dS(\mathbf{y}) = \int_{U} \Phi^{\times}(\mathbf{y}) \Delta u(\mathbf{y}) d\mathbf{y} + \int_{\partial U} u(\mathbf{y}) \frac{\partial \Phi^{\times}}{\partial \mathbf{n}}(\mathbf{y}) dS(\mathbf{y})$$

Wir erhalten damit unter Ausnutzung der obigen Proposition

$$u(\mathbf{x}) = \int_{\partial U} \left(\Phi(\mathbf{y} - \mathbf{x}) \frac{\partial u}{\partial \mathbf{n}} (\mathbf{y}) - u(\mathbf{y}) \frac{\partial \Phi}{\partial \mathbf{n}} (\mathbf{y} - \mathbf{x}) \right) dS(\mathbf{y})$$

$$- \int_{U} \Phi(\mathbf{y} - \mathbf{x}) \Delta u(\mathbf{y}) d\mathbf{y}$$

$$= \int_{\partial U} u(\mathbf{y}) \left(\underbrace{\frac{\partial \Phi^{\mathbf{x}}(\mathbf{y})}{\partial \mathbf{n}} - \frac{\partial \Phi(\mathbf{y} - \mathbf{x})}{\partial \mathbf{n}}}_{-\frac{\partial G(\mathbf{x}, \mathbf{y})}{\partial \mathbf{n}}} \right) dS(\mathbf{y})$$

$$+ \int_{U} \underbrace{\left(\Phi^{\mathbf{x}}(\mathbf{y}) - \Phi(\mathbf{y} - \mathbf{x}) \right)}_{-G(\mathbf{x}, \mathbf{y})} \Delta u(\mathbf{y}) d\mathbf{y}$$

Eigenschaften der Greenschen Funktion.

Die Greensche Funktion erfüllt die folgenden Eigenschaften.

- Die Funktion $G(\mathbf{x}, \mathbf{y})$ ist bis auf den Punkt $\mathbf{y} = \mathbf{x}$ harmonisch in \mathbf{y} ;
- weiterhin erfüllt G(x, y) homogene Randbedingungen, d.h.

$$G(\mathbf{x}, \mathbf{y}) = 0$$
 für alle $\mathbf{y} \in \partial U$, $\mathbf{x} \in U$;

- die Greensche Funktion ist eindeutig bestimmt;
- die Greensche Funktion ist symmetrisch, d.h.

$$G(\mathbf{x},\mathbf{y})=G(\mathbf{y},\mathbf{x})$$

Auf "einfachen" Gebieten läßt sich die Greensche Funktion elementar berechnen.

Für den Halbraum

$$\mathbb{R}^n_+ = \{ \mathbf{x} = (x_1, \dots, x_n)^T \mid x_n > 0 \}$$

2 oder für die Einheitskugel B(0,1).

◆ロト ◆御 ▶ ◆ 恵 ト ◆ 恵 ・ 夕 久 ②

Die Greensche Funktion für den Halbraum \mathbb{R}^n_+ .

Allgemein ist die Greensche Funktion gegeben durch

$$G(\mathbf{x},\mathbf{y}) = \Phi(\mathbf{y} - \mathbf{x}) - \Phi^{\mathsf{x}}(\mathbf{y})$$

Dabei ist $\Phi(\mathbf{x}, \mathbf{y})$ die Fundamentallösung und $\Phi^{\mathsf{x}}(\mathbf{y})$ die Lösung von

$$\begin{cases} \Delta \Phi^{x} = 0 & \text{in } \mathbb{R}^{n}_{+} \\ \Phi^{x} = \Phi(\mathbf{y} - \mathbf{x}) & \text{auf } \{\mathbf{x} = (x_{1}, \dots, x_{n})^{T} \mid x_{n} = 0\} \end{cases}$$

Für einen Punkt $x=(x_1,\ldots,x_n)\in\mathbb{R}^n_+$ definieren wir die Spiegelung an der Ebene $\partial\mathbb{R}^n_+$ mittels

$$\tilde{x} = (x_1, \dots, x_{n-1}, -x_n)$$

und verwenden dann für die Funktion $\Phi^x = \Phi^x(\mathbf{y})$ den Ansatz

$$\Phi^{\mathsf{x}}(\mathbf{y}) := \Phi(\mathbf{y} - \tilde{\mathbf{x}}) = \Phi(y_1 - x_1, \dots, y_{n-1} - x_{n-1}, y_n + x_n)$$

definiert für $x, y \in \mathbb{R}^n_+$.

Die Greensche Funktion für den Halbraum \mathbb{R}^n_+ .

Da der Punkt $\tilde{\mathbf{x}}$ nicht in \mathbb{R}^n_+ liegt, ist $\Phi^{\mathsf{x}}(\mathbf{y}) = \Phi(\mathbf{y} - \tilde{\mathbf{x}})$ auf dem **ganzem** Halbraum \mathbb{R}^n_+ harmonisch.

Weiterhin gilt auf dem Rand

$$\Phi^{x}(\mathbf{y}) = \Phi(\mathbf{y} - \tilde{\mathbf{x}}) = \Phi(y_{1} - x_{1}, \dots, y_{n-1} - x_{n-1}, x_{n})$$

$$= \Phi(y_{1} - x_{1}, \dots, y_{n-1} - x_{n-1}, -x_{n}) = \Phi(\mathbf{y} - \mathbf{x}),$$

da die Fundamentallösung nur von $\|\mathbf{y} - \mathbf{x}\|$ abhängt.

Also löst die Funktion $\Phi^{x}(\mathbf{y}) = \Phi(\mathbf{y} - \tilde{\mathbf{x}})$ das Randwertproblem

$$\begin{cases} \Delta \Phi^{x} = 0 & \text{in } \mathbb{R}^{n}_{+} \\ \Phi^{x} = \Phi(\mathbf{y} - \mathbf{x}) & \text{auf } \{\mathbf{y} = (y_{1}, \dots, y_{n})^{T} \mid y_{n} = 0\} \end{cases}$$

und die Greensche Funktion für den Halbraum \mathbb{R}^n_+ lautet demnach

$$G(\mathbf{x},\mathbf{y}) = \Phi(\mathbf{y} - \mathbf{x}) - \Phi(\mathbf{y} - \mathbf{\tilde{x}})$$
 für $\mathbf{x},\mathbf{y} \in \mathbb{R}^n_+$ mit $\mathbf{x} \neq \mathbf{y}$.

◆□ ト ◆□ ト ◆ ■ ト ◆ ■ ・ り へ ○

Der Poissonkern für den Halbraum \mathbb{R}^n_+ .

Man berechnet nun

$$\frac{\partial G}{\partial y_n}(\mathbf{x}, \mathbf{y}) = \frac{\partial \Phi}{\partial y_n}(\mathbf{y} - \mathbf{x}) - \frac{\partial \Phi}{\partial y_n}(\mathbf{y} - \tilde{\mathbf{x}})$$

$$= \frac{-1}{n\alpha(n)} \left[\frac{y_n - x_n}{\|\mathbf{y} - \mathbf{x}\|^n} - \frac{y_n + x_n}{\|\mathbf{y} - \tilde{\mathbf{x}}\|^n} \right]$$

und damit gilt für $\mathbf{y} \in \partial \mathbb{R}^n_+$

$$\frac{\partial G}{\partial \mathbf{n}}(\mathbf{x}, \mathbf{y}) = -\frac{\partial G}{\partial y_n}(\mathbf{x}, \mathbf{y}) = -\frac{2x_n}{n\alpha(n)} \frac{1}{\|\mathbf{x} - \mathbf{y}\|^n}$$

Definition: Die Funktion

$$K(\mathbf{x}, \mathbf{y}) := \frac{2x_n}{n\alpha(n)} \frac{1}{\|\mathbf{x} - \mathbf{y}\|^n}$$
 für $\mathbf{x} \in \mathbb{R}^n_+$ und $\mathbf{y} \in \partial \mathbb{R}^n_+$

nennt man auch den Poissonkern von \mathbb{R}^n_+ .



Das Dirichlet-Problem für die Laplacegleichung auf dem Halbraum \mathbb{R}^n_{\perp} .

Satz: Die Lösung des Randwertproblems

$$\begin{cases} \Delta u = 0 & \text{in } \mathbb{R}^n_+ \\ u = g & \text{auf } \{\mathbf{x} = (x_1, \dots, x_n)^T : x_n = 0\} \end{cases}$$

ist gegeben durch die Poissonsche Integralformel

$$u(\mathbf{x}) = \frac{2x_n}{n\alpha(n)} \int_{\partial \mathbb{R}^n_+} \frac{g(\mathbf{y})}{\|\mathbf{x} - \mathbf{y}\|^n} d\mathbf{y}$$

Insbesondere ist die Lösung $u(\mathbf{x})$ wegen

$$\int_{\partial\mathbb{R}^n_+} K(\mathbf{x},\mathbf{y}) dy = 1$$

beschränkt, falls g beschränkt ist.



Die Greensche Funktion für die Einheitskugel B(0,1).

Für $\mathbf{x} \in \mathbb{R}^n \setminus \{0\}$ nennt man den Punkt $\tilde{\mathbf{x}}$ mit

$$\tilde{\mathbf{x}} = \frac{\mathbf{x}}{\|\mathbf{x}\|^2}$$

den dualen Punkt von \mathbf{x} bezüglich $\partial B(0,1)$.

Damit ist die Lösung des Korrekturproblems

$$\left\{ \begin{array}{lcl} \Delta \Phi^x &=& 0 & \text{ in } B^0(0,1) := \{ \mathbf{x} \in \mathbb{R}^n \, | \, \|\mathbf{x}\| < 1 \} \\ \Phi^x &=& \Phi(\mathbf{y} - \mathbf{x}) & \text{auf } \partial B(0,1) \end{array} \right.$$

gegeben durch

$$\Phi^{\mathsf{x}}(\mathbf{y}) := \Phi(\|\mathbf{x}\|(\mathbf{y} - \tilde{\mathbf{x}}))$$

und wir erhalten folgende Greensche Funktion für die Einheitskugel

$$G(\mathbf{x}, \mathbf{y}) = \Phi(\mathbf{y} - \mathbf{x}) - \Phi(\|\mathbf{x}\|(\mathbf{y} - \tilde{\mathbf{x}}))$$
 für $\mathbf{x}, \mathbf{y} \in B(0, 1)$ mit $\mathbf{x} \neq \mathbf{y}$.

Das Dirichlet-Problem auf B(0,1).

Satz: Die Lösung des Randwertproblems

$$\begin{cases} \Delta u &= 0 & \text{in } \{\mathbf{x} = (x_1, \dots, x_n)^T \mid \|\mathbf{x}\| < 1\} \\ u &= g & \text{auf } \{\mathbf{x} = (x_1, \dots, x_n)^T \mid \|\mathbf{x}\| = 1\} \end{cases}$$

ist gegeben durch die Poissonsche Integralformel

$$u(\mathbf{x}) = \frac{1 - \|\mathbf{x}\|^2}{n\alpha(n)} \int_{\|\mathbf{y}\| = 1} \frac{g(\mathbf{y})}{\|\mathbf{x} - \mathbf{y}\|^n} dS(\mathbf{y})$$

Der Poissonkern für die Einheitskugel lautet demnach

$$K(\mathbf{x}, \mathbf{y}) = \frac{1 - \|\mathbf{x}\|^2}{n\alpha(n)} \frac{1}{\|\mathbf{x} - \mathbf{y}\|^n}$$
 für $\|\mathbf{x}\| < 1$ und $\|\mathbf{y}\| = 1$

Bemerkung: Mit der Transformation $\tilde{u}(\mathbf{x}) = u(r\mathbf{x})$ kann man leicht eine Darstellung für die Kugel $\{\mathbf{x} \in \mathbb{R}^n \mid ||\mathbf{x}|| < r\}$ ableiten.

- (ロ) (個) (重) (重) (重) 9(0)

Kapitel 5. Die Wärmeleitungsgleichung

In diesem Kapitel suchen wir Lösungen der Wärmeleitungs- oder Diffusionsgleichung

$$u_t = \Delta u$$

Dabei bezeichnet t > 0 die Zeitvariable und $\mathbf{x} \in U$, $U \subset \mathbb{R}^n$ offen, die Ortsvariable.

Insbesondere untersuchen wir Anfangs- oder Anfangs-Randwertprobleme der folgenden Form.

1 Das Anfangswertproblem oder auch Cauchy–Problem auf $U = \mathbb{R}^n$.

$$\begin{cases} u_t = \Delta u & \text{in } \mathbb{R}^n \times (0, T] \\ u = g & \text{auf } \mathbb{R}^n \times \{t = 0\} \end{cases}$$

② Das Anfangs-Randwertproblem auf einem beschränkten Gebiet $U \subset \mathbb{R}^n$.

$$\left\{ \begin{array}{lcl} u_t & = & \Delta u & \text{in} & U_T := U \times (0, T] \\ \\ u & = & g & \text{auf} & \Gamma_T := \overline{U_T} \setminus U_T \end{array} \right.$$



Kapitel 5. Die Wärmeleitungsgleichung

5.1 Lösungen mittels Produktansätzen

Gegeben sei das eindimensionale Anfangs-Randwertproblem

$$\begin{cases} u_t &= u_{xx} &: 0 < x < \pi, 0 < t \le T \\ u(x,0) &= u_0(x) &: 0 \le x \le \pi \\ u(0,t) &= a(t), u(\pi,t) = b(t) &: 0 \le t \le T \end{cases}$$

Wir suchen eine Lösung mit Hilfe des Produktansatzes

$$u(x,t)=p(x)\cdot q(t)$$

Einsetzen in die Wärmeleitungsgleichung ergibt

$$p(x)\dot{q}(t) = q(t)p''(x)$$

und damit die Beziehung

$$\frac{\dot{q}(t)}{q(t)} = \frac{p''(x)}{p(x)}$$
 für $p(x) \neq 0$ und $q(t) \neq 0$

◆ロト ◆昼 ト ◆ 喜 ト ◆ 喜 ・ 夕 Q ②

5.1 Lösungen mittels Produktansätzen

In der Gleichung

$$\frac{\dot{q}(t)}{q(t)} = \frac{p''(x)}{p(x)} \qquad (p(x) \neq 0, \ q(t) \neq 0)$$

steht

- auf der linken Seite ein Term, der nur von t abhängt,
- auf der rechten Seite ein Term, der nur von x abhängt.

Daraus folgt

$$\frac{\dot{q}(t)}{q(t)} = \frac{p''(x)}{p(x)} = \text{const.} =: -\delta$$

Wir erhalten also die beiden gewöhnlichen Differentialgleichungen

$$\dot{q}(t) + \delta q(t) = 0$$
 und $p''(x) + \delta p(x) = 0$



Lösungen mittels Produktansätzen.

Die allgemeine Lösung der Gleichung $\dot{q}(t) + \delta \, q(t) = 0$ ist gegeben durch

$$q(t) = c_0 e^{-\delta t}$$

Die Lösung der Gleichung $p''(x) + \delta p(x) = 0$ hängt entscheidend von der Konstanten δ ab.

1 Für $\delta = 0$ lautet die allgemeine Lösung

$$p(x) = c_1 x + c_2$$

2 Für $\delta < 0$ lautet die allgemeine Lösung

$$p(x) = c_1 e^{-\sqrt{|\delta|}x} + c_2 e^{\sqrt{|\delta|}x}$$

3 Für $\delta > 0$ lautet die allgemeine Lösung

$$p(x) = c_1 \sin(\sqrt{\delta}x) + c_2 \cos(\sqrt{\delta}x)$$

◆ロト ◆園 ト ◆ 恵 ト ◆ 恵 ・ 夕 Q (*)

Lösungen mittels Produktansätzen.

Ohne Berücksichtigung der vorgegebenen Anfangs- und Randbedingungen erhalten wir über den Produktansatz folgende Lösungsklassen.

$$u(x,t) = c_0 e^{-\delta t} \cdot (c_1 x + c_2)$$

$$u(x,t) = c_0 e^{-\delta t} \cdot (c_1 e^{-\sqrt{|\delta|}x} + c_2 e^{\sqrt{|\delta|}x})$$

$$u(x,t) = c_0 e^{-\delta t} \cdot (c_1 \sin(\sqrt{\delta}x) + c_2 \cos(\sqrt{\delta}x))$$

Die vorgegebenen Anfangs- und Randbedingungen lauten

$$u(x,0) = u_0(x),$$
 $u(0,t) = a(t),$ $u(\pi,t) = b(t)$

Fazit: Die Parametermenge $\{c_0, c_1, c_2, \delta\}$ kann gegebene Anfangs– und Randdaten $u_0(x), a(t)$ und b(t) im Allgemeinen nicht beschreiben.

Der Produktansatz liefert nur bei speziellen Anfangs- und Randbedingungen eine explizite Lösung.

←ロト ←団ト ← 三ト ← 三 ・ り へ ○

Ein Beispiel zum Produktansatz.

Beispiel: Gegeben sei das eindimensionale Anfangs-Randwertproblem

$$\left\{ \begin{array}{rcll} u_t & = & u_{xx} & : & 0 < x < \pi, \ 0 < t \leq T \\ u(x,0) & = & \sin x & : & 0 \leq x \leq \pi \\ u(0,t) & = & 0, \ u(\pi,t) = 0 & : & 0 \leq t \leq T \end{array} \right.$$

Aufgrund der vorgegebenen Randbedingungen fallen grundsätzlich die ersten beiden Lösungsklassen aus. Es bleibt also

$$u(x,t) = c_0 e^{-\delta t} \cdot (c_1 \sin(\sqrt{\delta}x) + c_2 \cos(\sqrt{\delta}x))$$

Wegen der Vorgabe $u(x,0) = \sin x$ erhalten wir die Lösung

$$u(x,t)=e^{-t}\sin x$$

Das Beispiel sieht etwas künstlich aus, ist es aber nicht!

◆ロト ◆個ト ◆ 豊ト ◆ 豊 ト 豊 り Q (*)

Das Superpositionsprinzip.

Jede Lösung der Form

$$u(x,t) = b_k e^{-k^2 t} \sin(kx)$$
 mit $k \in \mathbb{Z}$

erfüllt die homogenen Randbedingungen $u(0, t) = u(\pi, t) = 0$.

Eine Überlagerung

$$u(x,t) = \sum_{k=1}^{\infty} b_k e^{-k^2 t} \sin(kx)$$

ergibt die Anfangsbedingung

$$u(x,0) = \sum_{k=1}^{\infty} b_k \sin(kx)$$

Für eine gegebene Anfangsbedingung $u_0(x)$ ist die rechte Seite eine Entwicklung in eine Fourier-Reihe, d.h.

$$u_0(x) = \sum_{k=1}^{\infty} b_k \sin(kx)$$

(ロ) 4回 4 E + 4 E + 9 Q C

Kapitel 5. Die Wärmeleitungsgleichung

5.2 Die Fundamentallösung

Definition: Die Funktion

$$\Phi(\mathbf{x},t) := \left\{ egin{array}{ll} rac{1}{(4\pi t)^{n/2}}e^{-rac{\|\mathbf{x}\|^2}{4t}} &: & \mathbf{x} \in \mathbb{R}^n, t > 0 \\ 0 &: & \mathbf{x} \in \mathbb{R}^n, t < 0 \end{array}
ight.$$

heißt Fundamentallösung der Wärmeleitungsgleichung.

Insbesondere ist die Fundamentallösung normiert, d.h. für alle t > 0 gilt

$$\int_{\mathbb{R}^n} \Phi(x,t) dx = 1.$$

Bemerkung: Die Fundamentallösung besitzt für t = 0 und $\mathbf{x} = 0$ eine Singularität.

Mit Hilfe von $\Phi(x, t)$ lässt sich eine Lösung für das Cauchy-Problem

$$\begin{cases} u_t - \Delta u = 0 & \text{in } \mathbb{R}^n \times (0, \infty) \\ u = g & \text{auf } \mathbb{R}^n \times \{0\} \end{cases}$$

angeben.

Lösung des Cauchy-Problems.

Mit Hilfe von $\Phi(x, t)$ lässt sich für das Cauchy-Problem

$$\begin{cases} u_t - \Delta u = 0 & \text{in } \mathbb{R}^n \times (0, \infty) \\ u = g & \text{auf } \mathbb{R}^n \times \{0\} \end{cases}$$

eine Lösungsdarstellung wieder in der Form eines Faltungsintegral angeben

$$u(\mathbf{x},t) = \int_{\mathbb{R}^n} \Phi(\mathbf{x} - \mathbf{y}, t) g(\mathbf{y}) d\mathbf{y}$$
$$= \frac{1}{(4\pi t)^{n/2}} \int_{\mathbb{R}^n} e^{-\frac{||\mathbf{x} - \mathbf{y}||^2}{4t}} g(\mathbf{y}) d\mathbf{y}$$

Zur Herleitung der Fundamentallösung für $x \in \mathbb{R}$:

Ist u(x,t) eine Lösung von $u_t=\Delta u$, so ist $u(\lambda x,\lambda^2 t)$ für alle $\lambda\in\mathbb{R}$ ebenfalls eine Lösung der Wärmeleitungsgleichung.

→ロト 4回ト 4 三ト 4 三 り 9 ○ ○

Herleitung der Fundamentallösung für $x \in \mathbb{R}$.

Ist u(x,t) eine Lösung von $u_t = \Delta u$, so ist $u(\lambda x, \lambda^2 t)$ für alle $\lambda \in \mathbb{R}$ ebenfalls eine Lösung der Wärmeleitungsgleichung.

Ansatz: Wir suchen daher eine spezielle Lösung in der Form

$$u(x,t) = \frac{1}{t^{1/2}} v\left(\frac{x}{t^{1/2}}\right)$$

Man berechnet nun

$$u_{t}(x,t) = -\frac{1}{2}t^{-3/2} \cdot v - \frac{x}{2} \cdot t^{-3/2} \cdot t^{-1/2}v'$$

$$u_{x}(x,t) = t^{-1/2} \cdot t^{-1/2} \cdot v'$$

$$u_{xx}(x,t) = t^{-3/2} \cdot v''$$

Daraus folgt

$$u_t - u_{xx} = -\frac{1}{2} \cdot t^{-3/2} \cdot v - \frac{x}{2} \cdot t^{-2} \cdot v' - t^{-3/2} \cdot v'' = 0$$

Fortsetzung der Herleitung.

Wir erhalten also mit $r = x/\sqrt{t}$ die Gleichung zweiter Ordnung

$$\frac{1}{2}v + \frac{r}{2}v' + v'' = 0$$

Umschreiben ergibt

$$(v')' + \frac{1}{2}(rv)' = 0 \quad \Rightarrow \quad v' + \frac{1}{2}rv = c \in \mathbb{R}$$

Nehmen wir nun folgende Grenzbeziehungen an

$$\lim_{r\to\infty}v(r)=\lim_{r\to\infty}v'(r)=0$$

so folgt c = 0 und die Gleichung lautet

$$v' = -\frac{1}{2}rv \quad \Rightarrow \quad v(r) = be^{-r^2/4}$$

Eine explizite Lösung der eindimensionalen Wärmeleitungsgleichung ist damit

$$\Phi(x,t) = \frac{1}{\sqrt{4\pi t}} e^{-\frac{x^2}{4t}}$$

(ロ) (団) (目) (目) (目) (O)

Weitere Lösungsdarstellungen mit Hilfe der Fundamentallösung.

Satz: Das inhomogene Anfangswertproblem mit homogenen Anfangsbedingungen

$$\left\{ \begin{array}{ll} u_t - \Delta u = f & \text{in } \mathbb{R}^n \times (0, \infty) \\ \\ u = 0 & \text{auf } \mathbb{R}^n \times \{t = 0\} \end{array} \right.$$

besitzt die Lösung

$$u(\mathbf{x},t) = \int_0^t \int_{\mathbb{R}^n} \Phi(\mathbf{x} - \mathbf{y}, t - s) f(\mathbf{y}, s) d\mathbf{y} ds$$
$$= \int_0^t \frac{1}{(4\pi(t-s))^{n/2}} \int_{\mathbb{R}^n} e^{-\frac{\|\mathbf{x} - \mathbf{y}\|^2}{4(t-s)}} f(\mathbf{y}, s) d\mathbf{y} ds$$

Mit dem Duhamel'schen Prinzip läßt sich dann auch eine Lösung des inhomogenen Cauchy-Problems mit allgemeinen Anfangsbedingungen angeben.

Das Duhamel'sche Prinzip.

Satz: Die Funktion

$$u(\mathbf{x},t;s) = \int_{\mathbb{R}^n} \Phi(\mathbf{x}-\mathbf{y},t-s) f(\mathbf{y},s) d\mathbf{y}$$

löst das Problem

$$\left\{ \begin{array}{rcl} u_t(\cdot\,;s) - \Delta u(\cdot\,;s) & = & 0 & \text{in } \mathbb{R}^n \times (s,\infty) \\ u(\cdot\,;s) & = & f(\cdot\,;s) & \text{auf } \mathbb{R}^n \times \{t=s\} \end{array} \right.$$

Man erhält dann die Lösung der inhomogenen Gleichung durch Integration über s

$$u(\mathbf{x},t) = \int_0^t u(\mathbf{x},t;s) \, ds$$

Das inhomogene Anfangswertproblem mit allgemeinen Anfangsbedingungen $u(\mathbf{x},0)=g(\mathbf{x})$ besitzt daher die Lösung

$$u(\mathbf{x},t) = \int_{\mathbb{R}^n} \Phi(\mathbf{x} - \mathbf{y}, t) g(\mathbf{y}) d\mathbf{y} + \int_0^t \int_{\mathbb{R}^n} \Phi(\mathbf{x} - \mathbf{y}, t - s) f(\mathbf{y}, s) d\mathbf{y} ds$$

4□ > 4□ > 4 = > 4 = > = 90

Kapitel 5. Die Wärmeleitungsgleichung

5.3 Eigenschaften von Lösungen der Wärmeleitungsgleichung

Analog zur Laplacegleichung erfüllen auch Lösungen der Wärmeleitungsgleichung Mittelwertformeln, die allerdings weniger anschaulich sind:

Sei $U \subset \mathbb{R}^n$ offen und beschränkt, T > 0 fest. Dann nennt man die Menge

$$U_T := U \times (0, T]$$

den parabolischen Zylinder und

$$\Gamma_T := \overline{U_T} \setminus U_T$$

den parabolischen Rand.

Für festes $\mathbf{x} \in \mathbb{R}^n$, $t \in \mathbb{R}$ und r > 0 sei die Menge $E(\mathbf{x}, t; r)$ gegeben durch

$$E(\mathbf{x},t;r):=\{(\mathbf{y},s)\in\mathbb{R}^{n+1}\ :\ s\leq t,\ \Phi(\mathbf{x}-\mathbf{y},t-s)\geq rac{1}{r^n}\}$$

←□ > ←□ > ← = > ← = → ○ へ ○

Die Mittelwerteigenschaft bei der Wärmeleitungsgleichung.

Bemerkung:

- Der Rand von $E(\mathbf{x}, t; r)$ ist gerade eine Höhenlinie der Fundamentallösung $\Phi(\mathbf{x} \mathbf{y}, t s)$.
- Man nennt die Menge $E(\mathbf{x}, t; r)$ auch Wärmekugel im Englischen heat ball.

Mit Hilfe von E(x, t; r) erhält man folgende Mittelwerteigenschaft.

Satz: Ist $u \in C_1^2(U_T)$ eine Lösung der Wärmeleitungsgleichung, so gilt

$$u(\mathbf{x},t) = \frac{1}{4r^n} \int_{E(\mathbf{x},t;r)} \frac{|\mathbf{x}-\mathbf{y}|^2}{(t-s)^2} u(\mathbf{y},s) \, d\mathbf{y} ds$$

für jede Menge $E(x, t; r) \subset U_T$.

Aus der Mittelwerteigenschaft kann man wie bei der Laplacegleichung Maximumprinzipien herleiten.

- 4 ロ ト 4 個 ト 4 恵 ト 4 恵 ト - 恵 - り Q ()

Maximumprinzipien bei der Wärmeleitungsgleichung.

Aus der Mittelwerteigenschaft kann man folgende Maximumprinzipien herleiten.

Satz:

Sei $u\in C^2_1(U_T)\cap C(\overline{U}_T)$ eine Lösung der Wärmeleitungsgleichung in U_T . Dann gilt

1) Das Maximum von $u(\mathbf{x}, t)$ liegt stets auf dem parabolischen Rand, d.h.

$$\max_{(\mathbf{x},t)\in\overline{U}_T}u(\mathbf{x},t)=\max_{(\mathbf{x},t)\in\Gamma_T}u(\mathbf{x},t)$$

2) Ist U zusammenhängend und existiert ein Punkt $(\mathbf{x}_0,t_0)\in U_T$ mit

$$u(\mathbf{x}_0,t_0) = \max_{(\mathbf{x},t)\in\overline{U}_T} u(\mathbf{x},t)$$

so folgt, dass u auf \overline{U}_{t_0} konstant ist.



Eindeutigkeit von Lösungen der Wärmeleitungsgleichung.

Satz: Das Anfangsrandwertproblem auf dem beschränkten Gebiet U

$$\left\{ \begin{array}{ll} u_t - \Delta u = f & \text{in } U_T \\ \\ u = g & \text{auf } \Gamma_T \end{array} \right.$$

mit stetigen Funktionen f und g besitzt maximal eine Lösung u in $\mathcal{C}_1^2(U_T) \cap \mathcal{C}(\overline{U_T})$.

Beweis: Sind u und \tilde{u} zwei Lösungen, so lösen die beiden Funktionen

$$w_{1/2}=\pm(u-\tilde{u})$$

die homogene Wärmeleitungsgleichung mit homogenen Randbedingungen. Nach dem Maximumprinzip gilt dann, dass $w_{1/2}$ identisch verschwinden, d.h. wir haben $u=\tilde{u}$.

Das Anfangswertproblem auf dem Ganzraum \mathbb{R}^n .

Satz: Das Anfangsrandwertproblem

$$\begin{cases} u_t - \Delta u = f & \text{in } \mathbb{R}^n \times (0, T) \\ u = g & \text{auf } \mathbb{R}^n \times \{t = 0\} \end{cases}$$

auf dem Ganzraum \mathbb{R}^n mit stetigen Funktionen f und g besitzt unter der zusätzlichen Wachstumsbedingung

$$|u(x,t)| \le Ae^{a|x|^2}$$
 mit $A, a > 0$

maximal eine Lösung $u \in \mathcal{C}^2_1(\mathbb{R}^n \times (0, T)) \cap \mathcal{C}(\mathbb{R}^n \times [0, T])$.

Beispiel: In der Tat kann man zeigen, dass für das Cauchy-Problem

$$\begin{cases} u_t = \Delta u & \text{in } \mathbb{R}^n \times (0, T) \\ u = 0 & \text{auf } \mathbb{R}^n \times \{t = 0\} \end{cases}$$

unendlich viele Lösungen existieren. Nur die Nulllösung erfüllt die angegebene Wachstumsbedingung; alle anderen Lösungen wachsen rapide an.

4D > 4A > 4B > 4B > B 900

Kapitel 6. Die Wellengleichung

In diesem Kapitel berechnen wir Lösungen der Wellengleichung

$$u_{tt} - \Delta u = 0$$

sowie der inhomogene Wellengleichung

$$u_{tt} - \Delta u = f$$

in Verbindung mit geeigneten Anfangs- und Randbedingungen.

Hier bezeichnet t>0 wiederum die Zeitvariable und $\mathbf{x}\in U,\ U\subset\mathbb{R}^n$ offen, die Ortsvariable.

Wir suchen also eine Funktion $u: \overline{U} \times [0, \infty) \to \mathbb{R}$, $u = u(\mathbf{x}, t)$, wobei der Laplace-Operator auf die Ortsvariable $\mathbf{x} = (x_1, \dots, x_n)^T$ wirkt.

Für die inhomogene Gleichung bezeichnet die rechte Seite $f = f(\mathbf{x}, t)$ eine gegebene Funktion $f: U \times [0, \infty) \to \mathbb{R}$.



Kapitel 6. Die Wellengleichung

6.1 Die Formel von d'Alembert

Wir untersuchen zunächst eine direkte Methode zur Lösung des eindimensionalen Anfangswertproblems

$$\begin{cases} u_{tt} - u_{xx} = 0 & \text{in } \mathbb{R} \times [0, \infty) \\ u = g, u_t = h & \text{auf } \mathbb{R} \times \{t = 0\} \end{cases}$$

wobei g, h vorgegebene Anfangsbedingungen sind.

Erste Beobachtung:

Die Differentialgleichung läßt auf folgende Weise faktorisieren.

$$\left(\frac{\partial}{\partial t} + \frac{\partial}{\partial x}\right) \left(\frac{\partial}{\partial t} - \frac{\partial}{\partial x}\right) u = u_{tt} - u_{xx} = 0$$

Setzen wir nun

$$v(x,t) = \left(\frac{\partial}{\partial t} - \frac{\partial}{\partial x}\right) u(x,t)$$



6.1 Die Formel von d'Alembert

so erhalten wir eine Transportgleichung mit kostanten Koeffizienten

$$v_t(x,t)+v_x(x,t)=0$$

Die Lösung dieser Gleichung lautet

$$v(x,t)=a(x-t)$$

und erfüllt die Anfangsbedingung

$$v(x,0)=a(x)$$

Wegen

$$v(x,t) = \left(\frac{\partial}{\partial t} - \frac{\partial}{\partial x}\right) u(x,t)$$

ist u(x,t) demnach die Lösung der inhomogenen Transportgleichung

$$u_t - u_x = a(x - t)$$



Herleitung der Formel von d'Alembert.

Nach den Methoden aus Kapitel 2 erhalten wir

$$u(x,t) = \int_0^t a(x+(t-s)-s)ds + u(x+t,0)$$

$$= \frac{1}{2} \int_{x-t}^{x+t} a(y)dy + u(x+t,0)$$

$$= \frac{1}{2} \int_{x-t}^{x+t} a(y)dy + g(x+t)$$

Diese Lösung soll nun noch die Anfangsbedingung

$$u_t(x,0) = h(x)$$

erfüllen.

Man berechnet

$$u_t(x,t) = \frac{1}{2} (a(x+t) + a(x-t)) + g'(x+t)$$

4 D > 4 D > 4 E > 4 E > E 99(

Fortsetzung der Herleitung.

Man berechnet

$$u_t(x,t) = \frac{1}{2} (a(x+t) + a(x-t)) + g'(x+t)$$

und damit

$$u_t(x,0) = a(x) + g'(x) = h(x) \Rightarrow a(x) = h(x) - g'(x)$$

Also folgt

$$u(x,t) = \frac{1}{2} \int_{x-t}^{x+t} (h(y) - g'(y)) \, dy + g(x+t)$$
$$= \frac{1}{2} \int_{x-t}^{x+t} h(y) \, dy - \frac{1}{2} g(x+t) + \frac{1}{2} g(x-t) + g(x+t)$$

Damit haben wir eine explizite Lösung der Wellengleichung berechnet.

Komplettierung der Lösungsformel von d'Alembert.

Wir erhalten aus der Beziehung

$$u(x,t) = \frac{1}{2} \int_{x-t}^{x+t} h(y) dy - \frac{1}{2} g(x+t) + \frac{1}{2} g(x-t) + g(x+t)$$

demnach

$$u(x,t) = \frac{1}{2} (g(x+t) + g(x-t)) + \frac{1}{2} \int_{x-t}^{x+t} h(y) dy$$

Diese Darstellung nennt man die Formel von d'Alembert.

Bemerkung: Damit diese Lösung u(x,t) tatsächlich eine differenzierbare Lösung der Wellengleichung ist, müssen wir bezüglich der Anfangsbedingungen die Bedingungen

$$g \in C^2(\mathbb{R})$$
 und $h \in C^1(\mathbb{R})$

fordern.



Ein Beispiel zur Formel von d'Alembert.

Beispiel: Wir betrachten das Cauchy-Problem

$$\left\{ \begin{array}{ll} u_{tt} - u_{xx} = 0 & \text{in } \mathbb{R} \times [0, \infty) \\ \\ u = \sin x, u_t = \cos x & \text{auf } \mathbb{R} \times \{t = 0\} \end{array} \right.$$

Nach der Formel von d'Alembert ergibt sich:

$$u(x,t) = \frac{1}{2} (\sin(x+t) + \sin(x-t)) + \frac{1}{2} \int_{x-t}^{x+t} \cos(y) dy$$

$$= \frac{1}{2} (\sin(x+t) + \sin(x-t))$$

$$+ \frac{1}{2} (\sin(x+t) - \sin(x-t))$$

$$= \sin(x+t)$$

Die Reflektionsmethode für den Halbraum $\mathbb{R}_+ = \{x > 0\}$.

Wir betrachten das Anfangsrandwertproblem auf dem Halbraum \mathbb{R}_+

$$\left\{ \begin{array}{ll} u_{tt}-u_{xx}=0 & \text{in } \mathbb{R}_+\times(0,\infty) \\ \\ u=g, \ u_t=h & \text{auf } \mathbb{R}_+\times\{t=0\} \\ \\ u=0 & \text{auf } \{x=0\}\times(0,\infty) \end{array} \right.$$

mit vorgegebenen Funktionen g und h mit g(0) = h(0) = 0.

Frage: Können wir die Lösung des Halbraumproblems mit Hilfe der Lösung eines Ganzraumproblems berechnen?

Idee: Erweitere das Halbraumproblem auf ein Ganzraumproblem und verwende die Formel von d'Alembert.

Definiere eine Funktion $\tilde{u}(x,t)$ für $x \in \mathbb{R}$ und $t \geq 0$ durch

$$\tilde{u}(x,t) := \begin{cases} u(x,t) & \text{für } x \ge 0, t \ge 0 \\ -u(-x,t) & \text{für } x \le 0, t \ge 0 \end{cases}$$

Fortsetzung der Reflektionsmethode.

Analog werden die gegebenen Anfangsdaten reflektiert:

$$\tilde{g}(x) := \begin{cases} g(x) & \text{für } x \geq 0 \\ -g(-x) & \text{für } x \leq 0 \end{cases}$$

$$\tilde{h}(x) := \begin{cases} h(x) & \text{für } x \geq 0 \\ -h(-x) & \text{für } x \leq 0 \end{cases}$$

Damit erhalten wir für die Funktion \tilde{u} das Anfangswertproblem

$$\left\{ \begin{array}{ll} \tilde{u}_{tt} - \tilde{u}_{xx} = 0 & \text{in } \mathbb{R} \times (0, \infty) \\ \\ \tilde{u} = \tilde{g}, \; \tilde{u}_t = \tilde{h} & \text{auf } \mathbb{R} \times \{t = 0\} \end{array} \right.$$

und nach der Lösungsformel nach d'Alembert gilt

$$\tilde{u}(x,t) = \frac{1}{2} \left(\tilde{g}(x+t) + \tilde{g}(x-t) \right) + \frac{1}{2} \int_{x-t}^{x+t} \tilde{h}(y) dy$$

Fortsetzung der Reflektionsmethode.

Für $x \ge 0$ gilt nach Definition gerade

$$u(x, t) = \tilde{u}(x, t)$$

In der Formel von d'Alembert ist aber eine Fallunterscheidung nötig.

Fallunterscheidung:

1) Ist $x \ge t \ge 0$, so folgt $x - t \ge 0$ und daher

$$u(x,t) = \frac{1}{2} (\tilde{g}(x+t) + \tilde{g}(x-t)) + \frac{1}{2} \int_{x-t}^{x+t} \tilde{h}(y) dy$$
$$= \frac{1}{2} (g(x+t) + g(x-t)) + \frac{1}{2} \int_{x-t}^{x+t} h(y) dy$$

denn für positive Argumente stimmen die Funktionen g und \tilde{g} beziehungsweise h und \tilde{h} überein.

- 4 ロ b 4 個 b 4 き b 4 き り 9 0 0

Fortsetzung der Reflektionsmethode.

2) Ist $0 \le x \le t$, so folgt $x - t \le 0$ und daher

$$u(x,t) = \frac{1}{2} (\tilde{g}(x+t) + \tilde{g}(x-t)) + \frac{1}{2} \int_{x-t}^{x+t} \tilde{h}(y) dy$$

$$= \frac{1}{2} (g(x+t) - g(-(x-t))) + \frac{1}{2} \int_{x-t}^{0} \tilde{h}(y) dy + \frac{1}{2} \int_{0}^{x+t} \tilde{h}(y) dy$$

$$= \frac{1}{2} (g(x+t) - g(t-x)) - \frac{1}{2} \int_{0}^{t-x} h(y) dy + \frac{1}{2} \int_{0}^{x+t} h(y) dy$$

$$= \frac{1}{2} (g(x+t) - g(t-x)) + \frac{1}{2} \int_{t-x}^{x+t} h(y) dy$$

Komplettierung der Reflektionsmethode.

Gesamtlösung: Wir erhalten also als Lösung des Ausgangsproblems

$$u(x,t) = \begin{cases} \frac{1}{2} (g(x+t) + g(x-t)) + \frac{1}{2} \int_{x-t}^{x+t} h(y) dy & \text{für } x \ge t \ge 0 \\ \\ \frac{1}{2} (g(x+t) - g(t-x)) + \frac{1}{2} \int_{-x+t}^{x+t} h(y) dy & \text{für } 0 \le x \le t \end{cases}$$

Beispiel: Die Lösung des Anfangsrandwertproblems

$$\begin{cases} u_{tt} - u_{xx} = 0 & \text{in } \mathbb{R}_+ \times (0, \infty) \\ u = 0, \ u_t = \sin x & \text{auf } \mathbb{R}_+ \times \{t = 0\} \\ u = 0 & \text{auf } \{x = 0\} \times (0, \infty) \end{cases}$$

lautet

$$u(x, t) = \frac{1}{2}(\cos(x - t) - \cos(x + t))$$

◆ロト ◆卸 ト ◆ 恵 ト ◆ 恵 ・ り へ (

Kapitel 6. Die Wellengleichung

6.2 Lösungen der Wellengleichung durch sphärische Mittelung

Wir betrachten nun den höherdimensionalen Fall $n \ge 2$ und suchen eine Lösung für das Anfangswertproblem

$$\begin{cases} u_{tt} - \Delta u = 0 & \text{in } \mathbb{R}^n \times [0, \infty) \\ u = g, u_t = h & \text{auf } \mathbb{R}^n \times \{t = 0\} \end{cases}$$

Idee: Leite durch geeignete sphärische Mittelungen eine vereinfachte Differentialgleichung ab, die dann eine explizite Lösungsformel für die höherdimensionale Wellengleichung liefert.

Für $x \in \mathbb{R}^n$, t > 0 und r > 0 definieren wir den Mittelwert von u(x, t) über die Sphäre $\partial B(x, r)$,

$$U(x; r, t) := \int_{\partial B(x,r)} u(y, t) dS(y)$$

◆ロ → ◆個 → ◆ 差 ト ◆ 差 ・ 夕 へ ○

Lösungen durch sphärische Mittelung.

Weiter sei

$$\begin{cases}
G(x;r) := \int_{\partial B(x,r)} g(y)dS(y) \\
H(x;r) := \int_{\partial B(x,r)} h(y)dS(y)
\end{cases}$$

Satz: Sei $x \in \mathbb{R}^n$ fest und u eine Lösung der obenstehenden Wellengleichung. Dann löst U(x; r, t) die Euler-Poisson-Darboux Gleichung

$$\left\{ \begin{array}{ll} U_{tt}-U_{rr}-\frac{n-1}{r}U_{r}=0 & \text{in } \mathbb{R}_{+}\times(0,\infty) \\ \\ U=G,\ U_{t}=H & \text{auf } \mathbb{R}_{+}\times\{t=0\} \end{array} \right.$$

Beweis: Einer früheren Beobachtung folgend (siehe Seite 66 des Skripts) gilt

$$U_r(x; r, t) = \frac{r}{n} \int_{B(x,r)} \Delta u(y, t) dy$$

- 4 ロ ト 4 昼 ト 4 夏 ト 4 夏 ト 9 Q (C)

Fortsetzung des Beweises.

Da u eine Lösung der Wellengleichung ist, folgt

$$U_r(x; r, t) = \frac{r}{n} \int_{B(x, r)} u_{tt}(y, t) \, dy$$

und damit

$$r^{n-1}U_r = \frac{1}{n\alpha(n)} \int\limits_{B(x,r)} u_{tt} \, dy$$

Daraus folgt aber

$$(r^{n-1}U_r)_r = \frac{1}{n\alpha(n)} \int_{\partial B(x,r)} u_{tt} dS = r^{n-1} \int_{\partial B(x,r)} u_{tt} dS = r^{n-1}U_{tt}$$

Fassen wir dieses Ergebnis zusammen, so löst U in der Tat die EPD-Gleichung

$$U_{tt}-U_{rr}-\frac{n-1}{r}U_{r}=0$$

Jens Struckmeier (Mathematik, UniHH)

Die Kirchhoffsche Formel für n = 3.

Satz: Die Lösung des Anfangswertproblems für die Wellengleichung in drei Dimensionen lautet

$$u(x,t) = \int_{\partial B(x,t)} (th(y) + g(y) + Dg(y) \cdot (y-x)) dS(y)$$

mit $x \in \mathbb{R}^3$ und t > 0.

Beweis: Die Herleitung erfolgt über die Euler-Poisson-Darboux Gleichung. Wir definieren zunächst

$$\tilde{U} := rU$$

$$\tilde{G} := rG, \quad \tilde{H} := rH$$

Dann gilt

$$\tilde{U}_{tt} = rU_{tt} = r\left(U_{rr} + \frac{2}{r}U_r\right) = rU_{rr} + 2U_r = (U + rU_r)_r = \tilde{U}_{rr}$$

4 D > 4 D > 4 D > 4 D > 5 P 9 Q P

Fortsetzung des Beweises.

Also löst $ilde{U}$ das Anfangswertproblem

$$\left\{ \begin{array}{ll} \tilde{U}_{tt} - \tilde{U}_{rr} = 0 & \text{in } \mathbb{R}_+ \times (0, \infty) \\ \\ \tilde{U} = \tilde{G}, \; \tilde{U}_t = \tilde{H} & \text{auf } \mathbb{R}_+ \times \{t = 0\} \\ \\ \tilde{U} = 0 & \text{auf } \{r = 0\} \times \{t = 0\} \end{array} \right.$$

Mit der Lösungsformel für das Halbraumproblem folgt für $0 \le r \le t$ die Darstellung

$$\tilde{U}(x;r,t) = \frac{1}{2} \left[\tilde{G}(r+t) - \tilde{G}(t-r) \right] + \frac{1}{2} \int_{-r+t}^{r+t} \tilde{H}(y) dy$$

Da U(x; r, t) aus u(x, t) durch spärische Mittelung entsteht, gilt

$$u(x,t) = \lim_{r \to 0} U(x;r,t)$$

◆ロト ◆個ト ◆ 種ト ◆ 種 ト ■ り へ ○

Fortsetzung des Beweises.

Mit der Definition von \tilde{U} ergibt sich

$$u(x,t) = \lim_{r \to 0} \frac{\tilde{U}(x;r,t)}{r}$$

$$= \lim_{r \to 0} \left(\frac{\tilde{G}(r+t) - \tilde{G}(t-r)}{2r} + \frac{1}{2r} \int_{-r+t}^{r+t} \tilde{H}(y) dy \right)$$

$$= \tilde{G}'(t) + \tilde{H}(t)$$

Verwendet man die Definitionen von G und H, so erhält man

$$u(x,t) = \frac{\partial}{\partial t} (tG(x;t)) + tH(x;t)$$
$$= \frac{\partial}{\partial t} \left(t \int_{\partial B(x,t)} g dS \right) + t \int_{\partial B(x,t)} h dS$$

◆ロト ◆母 ト ◆ 恵 ト ◆ 恵 ・ り Q ○

Komplettierung des Beweises.

Nun gilt

$$f_{\partial B(x,t)}g(y)dS(y) = f_{\partial B(0,1)}g(x+tz)dS(z)$$

und damit

$$\frac{\partial}{\partial t} \left(\int_{\partial B(x,t)} g dS \right) = \int_{\partial B(0,1)} Dg(x+tz) \cdot z dS(z)$$
$$= \int_{\partial B(x,t)} Dg(y) \cdot \left(\frac{y-x}{t} \right) dS(y)$$

Setzen wir dies in die letzte Gleichung auf der vorgehenden Seite ein, so erhalten wir – nach Umsortierung – die Kirchhoffsche Formel.

$$u(x,t) = \int_{\partial B(x,t)} tDg(y) \cdot \left(\frac{y-x}{t}\right) dS(y) + \int_{\partial B(x,t)} g(y) dS(y)$$
$$+ \int_{\partial B(x,t)} th dS(y)$$

◆ロト ◆個ト ◆ 恵ト ◆ 恵 ・ りへ○

Die Poissonsche Formel für n = 2.

Satz: Die Lösung des Anfangswertproblems für die Wellengleichung in zwei Dimensionen lautet:

$$u(x,t) = \frac{1}{2} \int_{B(x,t)} \frac{tg(y) + t^2h(y) + tDg(y) \cdot (y-x)}{(t^2 - |y-x|^2)^{1/2}} dy$$

für $x \in \mathbb{R}^2$ und t > 0.

Beweisidee: Um diese Lösungsdarstellung abzuleiten, betrachtet man das dreidimensionale Anfangswertproblem und nimmt zusätzlich an, dass die Lösung nicht von der dritten Ortskoordinate x_3 abhängt.

Bemerkung: Nach einem zur Herleitung der Kirchhoffschen Formel analogen Prinzip, d.h. unter Verwendung der Euler–Poisson–Darboux Gleichung und geeigneten Definition von \tilde{U} , lassen sich Lösungsformeln für das Anfangswertproblem der Wellengleichung im \mathbb{R}^n ableiten.

Kapitel 7: Fourier–Methoden bei partiellen Differentialgleichungen

In diesem Kapitel untersuchen wir allgemeine Fourier–Methoden zur (approximativen) Lösung von Anfangs–, Randwert– und Anfangsrandwertaufgaben.

7.1. Beispiel: Fourier-Methoden bei gewöhnlichen DGL's

Gegeben sei das eindimensionale Randwertproblem:

$$-T \frac{d^2 u}{dx^2} = f(x) \quad \text{für } 0 < x < I$$

$$u(0) = 0$$

$$u(I) = 0$$

Anwendung: Die Lösung u(x) beschreibt die Gleichgewichtslage eines eingespannten hängenden Seils mit Spannung T und extern angreifender Kraft f(x).

4 D > 4 D > 4 E > 4 E > E 990

Wir betrachten zunächst den Spezialfall

$$f(x) = \sum_{n=1}^{N} c_n \sin\left(\frac{n\pi x}{l}\right)$$

mit vorgegebenen Koeffizienten c_1, \ldots, c_N .

Die Inhomogenität f(x) erfüllt insbesondere die homogenen Randbedingungen

$$f(0) = f(I) = 0$$

und wir suchen daher eine Lösung des Randwertproblems in der Form

$$u(x) = \sum_{n=1}^{N} b_n \sin\left(\frac{n\pi x}{l}\right)$$

Damit sind die homogenenen Randbedingungen für beliebige Lösungskoeffizienten $b_1, \ldots, b_N \in \mathbb{R}$ erfüllt und wir versuchen diese Koeffizienten so zu bestimmen, dass u(x) eine Lösung der vorgegebenen DGL ist.

4 D > 4 A > 4 B > 4 B > B 90 0

Einsetzen in die DGL ergibt:

$$\sum_{n=1}^{N} \frac{Tn^2\pi^2}{l^2} b_n \sin\left(\frac{n\pi x}{l}\right) = \sum_{n=1}^{N} c_n \sin\left(\frac{n\pi x}{l}\right)$$

Für die Koeffizienten b_1, \ldots, b_N gilt also

$$b_n = \frac{l^2 c_n}{T n^2 \pi^2}, \quad n = 1, \dots, N$$

und wir erhalten demnach als Lösung des Randwertproblems

$$u(x) = \sum_{n=1}^{N} \frac{I^{2} c_{n}}{T n^{2} \pi^{2}} \sin\left(\frac{n \pi x}{I}\right)$$

Beispiel: Für die Inhomogenität $f(x) = \sin(\pi x) - 2\sin(2\pi x) + 5\sin(3\pi x)$ und I = T = 1 lautet die Lösung

$$u(x) = \frac{1}{\pi^2} \sin(\pi x) - \frac{1}{2\pi^2} \sin(2\pi x) + \frac{5}{9\pi^2} \sin(3\pi x)$$

Der allgemeine Fall: Approximiere f(x) durch eine endliche Fourier-Reihe $f_N(x)$

$$f_N(x) = \sum_{n=1}^N c_n \sin\left(\frac{n\pi x}{l}\right)$$

mit den Fourier-Koeffizienten

$$c_n = \frac{2}{l} \int_0^l f(x) \sin\left(\frac{n\pi x}{l}\right) dx$$
 für $n = 1, ..., N$

Siehe Analysis II: Fourier-Reihen in Kapitel 10

Eine approximative Lösung des Randwertproblems mit Inhomogenität f(x) ist dann gegeben durch

$$u_N(x) = \sum_{n=1}^N \frac{I^2 c_n}{T n^2 \pi^2} \sin\left(\frac{n\pi x}{I}\right)$$

◆ロト ◆園 ト ◆ 恵 ト ◆ 恵 ・ り へ ○

Beispiel: Wir betrachten das Randwertproblem

$$-\frac{d^2u}{dx^2} = x, \quad 0 < x < 1$$

$$u(0) = 0$$

$$u(1) = 0$$

Die exakte Lösung läßt sich durch Integration berechnen

$$u'(x) = -\frac{x^2}{2} + a \quad \Rightarrow \quad u(x) = -\frac{x^3}{6} + ax + b$$

Mit den Randbedingungen u(0) = u(1) = 0 folgt

$$u(x) = -\frac{x^3}{6} + \frac{1}{6}x = \frac{1}{6}x(1-x^2)$$

∢ロ > ∢回 > ∢ 亘 > ∢ 亘 > り へ ⊙

Wir berechnen nun zunächst die Fourier-Koeffizienten der Funktion

$$f(x) = x$$

also

$$c_n = 2 \int_0^1 x \sin(n\pi x) dx = \frac{2(-1)^{n+1}}{n\pi}, \quad n = 1, \dots, N$$

Damit ergibt sich eine approximative Lösung in der Form

$$u_N(x) = \sum_{n=1}^N \frac{c_n}{n^2 \pi^2} \sin(n\pi x) = \sum_{n=1}^N \frac{2(-1)^{n+1}}{n^3 \pi^3} \sin(n\pi x)$$

Zum Beispiel erhalten wir

$$u_4(x) = \frac{2}{\pi^3}\sin(\pi x) - \frac{1}{4\pi^3}\sin(2\pi x) + \frac{2}{27\pi^3}\sin(3\pi x) - \frac{1}{32\pi^3}\sin(4\pi x)$$

- 4 ロ ト 4 個 ト 4 差 ト 4 差 ト - 差 - からぐ

Frage: Wie gut ist die approximative Lösung?

Antwort: Berechne dazu die Fourier-Koeffizienten der exakten Lösung

$$u(x) = \frac{1}{6}x(1-x^2)$$

Mit der Fourier-Reihe

$$\tilde{u}_N(x) = \sum_{n=1}^N a_n \sin(n\pi x)$$

erhalten wir für die Fourier-Koeffizienten die Darstellung

$$a_n = 2 \int_0^1 \frac{1}{6} x (1 - x^2) \sin(n\pi x) dx = \frac{2(-1)^{n+1}}{n^3 \pi^3}$$

Dies sind aber gerade die Fourier-Koeffizienten der approximativen Lösung!

◆ロト 4回ト 4 三ト 4 三 ト 9 Q (や)

Kapitel 7: Fourier–Methoden bei partiellen Differentialgleichungen

7.2. Fourier-Methoden für die Wärmeleitungsgleichung

Wir betrachten folgendes Anfangsrandwertproblem der Wärmeleitungsgleichung

$$\begin{cases} u_t - u_{xx} &= f(x,t) &: 0 < x < l, 0 < t \le T \\ u(x,0) &= g(x) &: 0 \le x \le l \\ u(0,t) &= u(l,t) = 0 &: 0 \le t \le T \end{cases}$$

und suchen eine Lösung in Form einer Fourier-Reihe, also

$$u(x,t) = \sum_{n=1}^{\infty} a_n(t) \sin\left(\frac{n\pi x}{l}\right)$$

Bemerkung: Da wir nur Sinus-Funktionen in der Fourier-Reihe verwenden, sind die vorgegebenen homogenen Randbedingungen automatisch erfüllt.

←ロ → ←団 → ← 豆 → 豆 ・ り へ ○

7.2. Fourier-Methoden für die Wärmeleitungsgleichung

Für die Koeffizienten der Fourier-Reihe gilt wiederum

$$a_n(t) = \frac{2}{l} \int_0^l u(x, t) \sin\left(\frac{n\pi x}{l}\right) dx$$

Gleichzeitig können wir die Inhomogenität f(x,t) in einer Fourier-Reihe darstellen

$$f(x,t) = \sum_{n=1}^{\infty} c_n(t) \sin\left(\frac{n\pi x}{l}\right)$$

mit

$$c_n(t) = \frac{2}{l} \int_0^l f(x, t) \sin\left(\frac{n\pi x}{l}\right) dx$$

Wir berechnen nun die Orts- und Zeitableitungen des Lösungsansatzes

$$u(x,t) = \sum_{n=1}^{\infty} a_n(t) \sin\left(\frac{n\pi x}{l}\right)$$

Fourier-Methoden für die Wärmeleitungsgleichung.

Die Berechnung der Orts- und Zeitableitungen ergibt

$$\frac{\partial u}{\partial t}(x,t) = \sum_{n=1}^{\infty} \frac{da_n}{dt}(t) \sin\left(\frac{n\pi x}{I}\right)$$

$$\frac{\partial u}{\partial x}(x,t) = \sum_{n=1}^{\infty} a_n(t) \frac{n\pi}{I} \cos\left(\frac{n\pi x}{I}\right)$$

$$\frac{\partial^2 u}{\partial x^2}(x,t) = -\sum_{n=1}^{\infty} a_n(t) \frac{n^2 \pi^2}{I^2} \sin\left(\frac{n\pi x}{I}\right)$$

Daraus folgt

$$u_t - u_{xx} = \sum_{n=1}^{\infty} \left(\frac{da_n}{dt}(t) + a_n(t) \frac{n^2 \pi^2}{I^2} \right) \sin\left(\frac{n\pi x}{I}\right)$$

- 4 ロ > 4 個 > 4 差 > 4 差 > 差 夕 Q ()

Fourier-Methoden für die Wärmeleitungsgleichung.

Durch Gleichsetzen mit der Fourier-Reihe von f(x, t) erhalten wir ein System gewöhnlicher Differentialgleichungen der Form

$$\frac{da_n}{dt}(t) + a_n(t)\frac{n^2\pi^2}{l^2} = c_n(t)$$

Die Anfangsbedingungen $a_1(0), a_2(0), \ldots$ ergeben sich aus der Anfangsbedingung u(x,0) = g(x)

$$g(x) = \sum_{n=1}^{\infty} b_n \sin\left(\frac{n\pi x}{l}\right)$$
 mit $b_n = \frac{2}{l} \int_0^l g(x) \sin\left(\frac{n\pi x}{l}\right) dx$

und daher

$$a_n(0) = b_n$$
 für $n = 1, 2, ...$

Damit erhalten wir ein Anfangswertproblem für ein lineares System gewöhnlicher Differentialgleichungen, das zudem entkoppelt ist.

→ロト ←団ト ← 豆ト ← 豆 ・ り へ ○

Fourier-Methoden für die Wärmeleitungsgleichung.

Die Lösung läßt sich also direkt angeben

$$a_n(t) = b_n \exp\left(-\frac{n^2\pi^2}{l^2} \cdot t\right) + \int_0^t \exp\left(-\frac{n^2\pi^2}{l^2} \cdot (t-s)\right) c_n(s) ds$$

Beispiel: Wir betrachten das homogene Anfangsrandwertproblem

$$\begin{cases} u_t &= u_{xx} &: 0 < x < 50, 0 < t \le T \\ u(x,0) &= 5 - \frac{1}{5}|x - 25| &: 0 \le x \le 50 \\ u(0,t) &= u(50,t) = 0 &: 0 \le t \le T \end{cases}$$

Die Berechnung der Fourier-Koeffizienten von $g(x) = 5 - \frac{1}{5}|x - 25|$ ergibt

$$b_n = \frac{1}{25} \int_0^{50} \left(5 - \frac{1}{5} |x - 25| \right) \sin\left(\frac{n\pi x}{50}\right) dx = \frac{40}{n^2 \pi^2} \sin\left(\frac{n\pi}{2}\right)$$

Fortsetzung des Beispiels.

Da wir eine homogene Wärmeleitungsgleichung betrachten, folgt

$$a_n(t) = \frac{40}{n^2 \pi^2} \sin\left(\frac{n\pi}{2}\right) \exp\left(-\frac{n^2 \pi^2}{2500} \cdot t\right)$$

und die Lösung als Fourier-Reihe lautet

$$u(x,t) = \sum_{n=1}^{\infty} \frac{40}{n^2 \pi^2} \sin\left(\frac{n\pi}{2}\right) \exp\left(-\frac{n^2 \pi^2}{2500} \cdot t\right) \sin\left(\frac{n\pi x}{50}\right)$$

Beobachtung:

- Für festes T>0 fallen die Fourier–Koeffizienten $a_n(t)$ der Lösung exponentiell schnell für $n\to\infty$ ab. Höhere Werte für n beschreiben gerade die höheren Frequenzen in der Lösung.
- Für festes n fallen die Fourier–Koeffizienten exponentiell schnell für $t \to \infty$ ab. Der Abfall ist umso schneller, je größer n ist. Für große Zeiten beschreiben also wenige Terme der Fourier–Reihe die exakte Lösung sehr gut.

Ein weiteres Beispiel.

Wir betrachten das inhomogene Anfangsrandwertproblem

$$\begin{cases} u_t - u_{xx} &= x & : & 0 < x < 1, \ 0 < t \le T \\ u(x,0) &= 0 & : & 0 \le x \le 1 \\ u(0,t) &= u(1,t) = 0 & : & 0 \le t \le T \end{cases}$$

Dann gilt mit den Bezeichnungen von oben

$$b_n = 0$$

$$c_n(t) = c_n = 2\frac{(-1)^{n+1}}{n\pi}$$

und damit

$$a_n(t) = 2 \int_0^t e^{-n^2 \pi^2 (t-s)} \frac{(-1)^{n+1}}{n\pi} ds = 2 \frac{(-1)^{n+1}}{n^3 \pi^3} \left(1 - e^{-n^2 \pi^2 t} \right)$$

Allgemeinere Randbedingungen.

Bis jetzt haben wir nur Anfangsrandwertprobleme mit homogenen Randbedingungen betrachtet,

$$\begin{cases} u_t - u_{xx} &= f(x,t) &: 0 < x < I, 0 < t \le T \\ u(x,0) &= g(x) &: 0 \le x \le I \\ u(0,t) &= u(I,t) = 0 &: 0 \le t \le T \end{cases}$$

Was passiert bei

• einseitig Neumannschen Randbedingungen der Form

$$u(0,t)=0, \quad \frac{\partial u}{\partial x}(I,t)=0,$$

2 periodischen Randbedingungen der Form

$$u(0,t) = u(l,t),$$
 $\frac{\partial u}{\partial x}(0,t) = \frac{\partial u}{\partial x}(l,t)$

Fourier-Methoden bei Neumannschen Randbedingungen.

Wir betrachten zunächst das Anfangsrandwertproblem

$$\begin{cases} u_t - u_{xx} &= f(x,t) : 0 < x < l, 0 < t \le T \\ u(x,0) &= g(x) : 0 \le x \le l \\ u(0,t) &= 0 : 0 \le t \le T \\ u_x(l,t) &= 0 : 0 \le t \le T \end{cases}$$

Bemerkung: Beschreibt die Funktion u(x, t) eine orts- und zeitabhängige Temperaturverteilung, so bedeutet

- **1** die Bedingung u(0, t) = 0, dass das linke Ende des Intervalls [0, I] mit einem unendlich großen Eisbad in Kontakt steht,
- ② die Bedingung $u_x(l,t) = 0$, dass am rechten Ende kein Wärmefluß nach rechts existiert, d.h. das rechte Ende des Intervalls ist perfekt wärmeisoliert.

◆ロ → ◆昼 → ◆ き → り へ ○

Fourier-Methoden bei Neumannschen Randbedingungen.

Die Fourier-Reihe

$$u(x,t) = \sum_{n=1}^{\infty} a_n(t) \sin\left(\frac{n\pi x}{I}\right)$$

kann keine Lösung sein, denn unabhängig von den (zeitabhängigen) Koeffizienten gilt dann stets

$$u(0,t)=u(I,t)=0$$

Anderer Ansatz: die im Problem vorgegebenen Randbedingungen

$$u(0, t) = 0,$$
 $u_x(I, t) = 0$

werden zum Beispiel durch die Funktion

$$u(x,t) = \sin\left(\frac{\pi x}{2I}\right)$$

erfüllt.



Fourier-Methoden bei Neumannschen Randbedingungen.

Diese Funktion beschreibt gerade eine Viertel-Sinuswelle.

Funktionen mit höheren Frequenzen erhalten wir, wenn wir daran Vielfache einer halben Sinuswelle anhängen, also

$$\sin\left(\frac{\pi x}{2I} + \frac{k\pi x}{I}\right) \qquad \text{mit } k \in \mathbb{N}$$

Die Funktionen höherer Frequenzen sind dann von der Form

$$u(x,t) = \sin\left(\frac{(2n-1)\pi x}{2l}\right)$$
 mit $n \in \mathbb{N}$. $n \ge 2$

Ein Lösungsansatz für das vorgegebene Anfangsrandwertproblem, der automatisch die vorgegebenen Randbedingungen erfüllt, lautet damit

$$u(x,t) = \sum_{n=1}^{\infty} a_n(t) \sin\left(\frac{(2n-1)\pi x}{2l}\right)$$

→ロト→□ト→ミト→ミト ミ からぐ

Beispiel.

Wir betrachten das Anfangsrandwertproblem

$$\begin{cases} u_t &= u_{xx} &: 0 < x < 50, 0 < t \le T \\ u(x,0) &= 5 - \frac{1}{5}|x - 25| &: 0 \le x \le 50 \\ u(0,t) &= 0 &: 0 \le t \le T \\ u_x(50,t) &= 0 &: 0 \le t \le T \end{cases}$$

Die Berechnung der Fourier-Koeffizienten von $g(x) = 5 - \frac{1}{5}|x - 25|$ ergibt

$$b_n = \frac{1}{25} \int_0^{50} \left(5 - \frac{1}{5} |x - 25| \right) \sin \left(\frac{(2n - 1)\pi x}{100} \right) dx$$
$$= -\frac{80(-\sqrt{2}\sin(n\pi/2) + \sqrt{2}\cos(n\pi/2) - (-1)^n)}{\pi^2 (2n - 1)^2}$$

4日 → 4日 → 4 目 → 4 目 → 9 へ ○

Fortsetzung des Beispiels.

Mit dem Lösungsansatz

$$u(x,t) = \sum_{n=1}^{\infty} a_n(t) \sin\left(\frac{(2n-1)\pi x}{2l}\right)$$

erhalten wir durch Einsetzen in die Wärmeleitungsgleichung und Koeffizientenvergleich mit der Fourier-Reihe von g(x) die Gleichungen

$$\frac{da_n}{dt} + \frac{(2n-1)^2 \pi^2}{4 \cdot 50^2} a_n = 0$$

$$a_n(0) = b_n$$

für n = 1, 2,

Die Lösung dieser Differentialgleichung lautet dann

$$a_n(t) = b_n e^{-\frac{(2n-1)^2 \pi^2}{10000}} t$$



Beidseitige Neumann-Randbedingungen.

Sind beide Enden wärmeisoliert, so haben wir das Anfangsrandwertproblem

$$\begin{cases} u_t - u_{xx} &= f(x,t) : 0 < x < I, 0 < t \le T \\ u(x,0) &= g(x) : 0 \le x \le I \\ u_x(0,t) &= 0 : 0 \le t \le T \\ u_x(I,t) &= 0 : 0 \le t \le T \end{cases}$$

Jetzt erfüllen die Funktionen

$$u(x,t) = 1$$
 und $u(x,t) = \cos\left(\frac{\pi x}{I}\right)$

die vorgegebenen Neumannschen Randbedingungen.

Ein Lösungsansatz lautet damit

$$u(x,t) = b_0(t) + \sum_{n=1}^{\infty} b_n(t) \cos\left(\frac{n\pi x}{I}\right)$$

(ロ) 4回 + 4 E + 4 E + 9 Q C

Beispiel.

Wir betrachten das Anfangsrandwertproblem

$$\begin{cases} u_t &= u_{xx} &: 0 < x < 50, 0 < t \le T \\ u(x,0) &= 5 - \frac{1}{5}|x - 25| &: 0 \le x \le 50 \\ u_x(0,t) &= 0 &: 0 \le t \le T \\ u_x(50,t) &= 0 &: 0 \le t \le T \end{cases}$$

Mit dem Lösungsansatz

$$u(x,t) = b_0(t) + \sum_{n=1}^{\infty} b_n(t) \cos\left(\frac{n\pi x}{50}\right)$$

ergibt sich durch Einsetzen in die Differentialgleichung

$$\frac{db_0}{dt}(t) + \sum_{n=1}^{\infty} \left(\frac{db_n}{dt}(t) + \frac{n^2 \pi^2}{50^2} b_n(t) \right) \cos \left(\frac{n\pi x}{50} \right) = 0$$

◆ロト ◆昼 ト ◆ 恵 ト ・ 恵 ・ 夕 Q (や)

Fortsetzung des Beispiels.

Das System gewöhnlicher Differentialgleichungen lautet dann

$$\frac{db_0}{dt}(t) = 0 \qquad \text{und} \qquad \frac{db_n}{dt}(t) + \frac{n^2 \pi^2}{50^2} b_n(t) = 0$$

Um die zugehörigen Anfangsbedingungen festzulegen, bestimmen wir die Fourier-Reihe der Anfangsbedingung g(x), d.h.

$$g(x) = d_0 + \sum_{n=1}^{\infty} d_n \cos\left(\frac{n\pi x}{50}\right)$$

mit den Fourier-Koeffizienten

$$d_0 = \frac{1}{50} \int_0^{50} g(x) dx$$

$$d_n = \frac{2}{50} \int_0^{50} g(x) \cos\left(\frac{n\pi x}{50}\right) dx$$

◆ロト ◆個ト ◆ 恵ト ◆ 恵 ト ・ 恵 ・ からぐ

Komplettierung des Beispiels.

Man berechnet

$$d_0 = \frac{5}{2}$$

$$d_n = \frac{20(2\cos(n\pi/2) - 1 - (-1)^n)}{n^2\pi^2}$$

Die Koeffizienten $b_0(t), b_1(t), \ldots$ ergeben sich damit als

$$b_n(t) = d_n e^{-\lambda_n t}$$

mit

$$\lambda_n = \frac{n^2 \pi^2}{2500}$$

und die Lösung lautet

$$u(x,t) = d_0 + \sum_{n=1}^{\infty} d_n e^{-\lambda_n t} \cos\left(\frac{n\pi x}{50}\right)$$

Fourier-Methoden bei periodischen Randbedingungen.

Wir kommen nun zu periodischen Randbedingungen und dem Anfangsrandwertproblem auf dem Intervall [-I,I]

$$\begin{cases} u_t - u_{xx} &= f(x,t) : -l < x < l, 0 < t \le T \\ u(x,0) &= g(x) : -l \le x \le l \\ u(-l,t) &= u(l,t) : 0 \le t \le T \\ u_x(-l,t) &= u_x(l,t) : 0 \le t \le T \end{cases}$$

Periodische Funktionen auf dem Intervall [-I, I] sind

$$\psi(x) = \frac{1}{2}, \quad \psi(x) = \cos\left(\frac{n\pi x}{I}\right) \quad \text{und} \quad \psi(x) = \sin\left(\frac{n\pi x}{I}\right)$$

Ein Lösungsansatz mit Hilfe von Fourier-Reihen ist damit

$$u(x,t) = a_0(t) + \sum_{n=1}^{\infty} \left(a_n(t) \cos\left(\frac{n\pi x}{I}\right) + b_n(t) \sin\left(\frac{n\pi x}{I}\right) \right)$$

◆ロ → ◆個 → ◆ 差 → ◆ 差 → り へ ○

Fourier-Methoden bei periodischen Randbedingungen.

Mit den Reihenentwicklungen

$$f(x,t) = c_0(t) + \sum_{n=1}^{\infty} \left(c_n(t) \cos\left(\frac{n\pi x}{l}\right) + d_n(t) \sin\left(\frac{n\pi x}{l}\right) \right)$$

$$g(x) = p_0 + \sum_{n=1}^{\infty} \left(p_n \cos \left(\frac{n \pi x}{I} \right) + q_n \sin \left(\frac{n \pi x}{I} \right) \right)$$

ergeben sich die gewöhnlichen Differentialgleichungen

$$\frac{da_0}{dt}(t) = c_0(t)$$

$$\frac{da_n}{dt}(t) + \frac{n^2\pi^2}{l^2}a_n(t) = c_n(t)$$

$$\frac{db_n}{dt}(t) + \frac{n^2\pi^2}{l^2}b_n(t) = d_n(t)$$



Fourier-Methoden bei periodischen Randbedingungen.

Die zugehörigen Anfangsbedingungen lauten

$$a_0(0) = p_0, \quad a_n(0) = p_n, \quad b_n(0) = q_n$$

Beispiel: Für das Anfangsrandwertproblem mit periodischen Randbedingungen

$$\begin{cases} u_t - u_{xx} &= \frac{1}{10}x(x^2 - \pi^2) &: -\pi < x < \pi, \ 0 < t \le T \\ u(x,0) &= 25 &: -\pi \le x \le \pi \\ u(-\pi,t) &= u(\pi,t) &: 0 \le t \le T \\ u_x(-\pi,t) &= u_x(\pi,t) &: 0 \le t \le T \end{cases}$$

ist die Fourier-Entwicklung der Lösung gegeben durch

$$u(x,t) = 25 + \sum_{n=1}^{\infty} \frac{12(-1)^n}{10n^5} \left(1 - e^{-n^2t}\right) \sin(nx)$$

- 4 ロ ト 4 個 ト 4 恵 ト 4 恵 ト 9 Q C

Kapitel 7: Fourier-Methoden bei partiellen Differentialgleichungen

7.3. Fourier-Methoden für die Wellengleichung

Wir betrachten das Anfangsrandwertproblem

$$\begin{cases} u_{tt} - u_{xx} &= f(x,t) &: 0 < x < I, 0 < t \le T \\ u(x,0) &= g(x) &: 0 \le x \le I \\ u_t(x,0) &= h(x) &: 0 \le x \le I \\ u(0,t) &= u(I,t) = 0 &: 0 \le t \le T \end{cases}$$

und suchen eine Lösung in der Form

$$u(x,t) = \sum_{n=1}^{\infty} a_n(t) \sin\left(\frac{n\pi x}{I}\right)$$

Die Fourier-Reihen für f(x, t), g(x) und h(x) ergeben DGL's für die Lösungskoeffizienten $a_i(t)$, i = 1, 2, ...



Beispiel.

Die Lösung des Anfangsrandwertproblems

$$\begin{cases} u_{tt} - u_{xx} &= 0 & : & 0 < x < l, \ 0 < t \le T \\ u(x,0) &= g(x) & : & 0 \le x \le l \\ u_t(x,0) &= h(x) & : & 0 \le x \le l \\ u(0,t) &= u(l,t) = 0 & : & 0 \le t \le T \end{cases}$$

ist gegeben durch

$$u(x,t) = \sum_{n=1}^{\infty} \left\{ b_n \cos\left(\frac{n\pi}{l}t\right) + \frac{d_n l}{n\pi} \sin\left(\frac{n\pi}{l}t\right) \right\} \sin\left(\frac{n\pi x}{l}\right)$$

Dabei sind b_n die Fourier-Koeffizienten der Entwicklung der vorgegebenen Anfangsbedingung u(x,0) = g(x) und d_n die entsprechenden Koeffizienten von $u_t(x,0) = h(x)$.



Kapitel 8: Numerische Lösung partieller Differentialgleichungen

Zur numerischen Lösung gibt es drei klassische Ansätze:

- Finite-Differenzen
 - Approximation auf regulären (strukturierten) Gittern, einfache Geometrien, häufig eindimensional im Ort, alle Typen
- 2 Finite-Volumen

Mehrdimensionale Probleme auf unstrukturierten Gittern, vor allem hyperbolische Gleichungen

- Second Finite Elemente
 - Mehrdimensionale Probleme auf unstrukturierten Gittern, komplizierte Geometrien, vor allem elliptische Gleichungen

Wir beschränken uns auf die Darstellung von Finiten-Differenzen- und Finite-Element-Methoden.



8.1 Die Methode der Finiten-Differenzen

Wir beschränken uns auf eindimensionale Probleme und die folgenden Anfangsund Anfangsrandwertprobleme

Cauchy-Probleme f
 ür skalare Erhaltungsgleichungen, also

$$\begin{cases} u_t + f(u)_x = 0 & \text{in } \mathbb{R} \times (0, \infty) \\ u = u_0 & \text{auf } \mathbb{R} \times \{t = 0\} \end{cases}$$

Randwertprobleme für die Poissongleichung, also

$$\begin{cases} -u_{xx} = f(x) & : & 0 < x < 1, \ 0 < t \le T \\ u(0) = u(1) = 0 \end{cases}$$

Anfangsrandwertprobleme für die Wärmeleitungsgleichung, also

$$\begin{cases} u_t - u_{xx} &= f(x,t) &: 0 < x < 1, 0 < t \le T \\ u(x,0) &= g(x) &: 0 \le x \le 1 \\ u(0,t) &= u(1,t) = 0 &: 0 \le t \le T \end{cases}$$

8.1. Die Methode der Finiten-Differenzen

Idee bei Finiten-Differenzen: Approximiere die exakte Lösung **nur** an diskreten Punkten (**dem Gitter**):

$$u(x_i, t_j) \approx U(x_i, t_j) =: U_i^j$$

mit den diskreten Punkten

$$x_i = i \cdot h$$
, $i \in \mathcal{Z}_x$ und $t_j = j \cdot k$, $j \in \mathcal{Z}_t$

und den Orts- und Zeitschrittweiten h und k. Die Indexmengen \mathcal{Z}_x und \mathcal{Z}_t sind dabei endliche oder unendliche Teilmengen von \mathcal{Z} .

Beispiel: Für die Wärmeleitungsgleichung auf $[0,1] \times [0,T]$ setzen wir

$$x_i = i \cdot h, \quad i = 0, \ldots, n$$

$$t_j = j \cdot k, \quad j = 0, \ldots, m$$

mit den Orts- und Zeitschrittweiten

$$h = \frac{1}{n}$$
 und $k = \frac{T}{m}$

Zur diskreten Approximation von Ableitungen.

Zur Berechnung der diskreten Werte U_i^I benötigen wir die Approximation von Ableitungen auf dem vorgegebenen Gitter.

Beispiel:

Wir approximieren die Ableitung $u_x(x,t)$ an der Stelle $(x,t)=(x_i,t_j)$ durch

Zentrale Differenzen

$$u_{x}(x_{i},t_{j}) \approx \frac{U_{i+1}^{j}-U_{i-1}^{j}}{2h}$$

2 Vorwärtsdifferenz

$$u_{x}(x_{i},t_{j}) \approx \frac{U_{i+1}^{j} - U_{i}^{j}}{h}$$

8 Rückwärtsdifferenz

$$u_x(x_i, t_j) \approx \frac{U_i^j - U_{i-1}^j}{h}$$

Zur Approximationsgüte von Finiten-Differenzen.

Sei u(x, t) eine hinreichend oft differenzierbare Funktion und (x_i, t_j) ein fester Punkt eines Gitters mit Orts– und Zeitschrittweite h und k.

Mittels einer Taylorentwicklung um (x_i, t_j) erhalten wir

$$u(x_{i+1}, t_{j}) = u(x_{i}, t_{j}) + u_{x}(x_{i}, t_{j}) \underbrace{(x_{i+1} - x_{i})}_{=h} + \underbrace{\frac{1}{2}u_{xx}(x_{i}, t_{j})}_{=x_{i}} \underbrace{(x_{i+1} - x_{i})^{2}}_{=h^{2}} + \underbrace{\frac{1}{6}u_{xxx}(x_{i}, t_{j})}_{=h^{3}} \underbrace{(x_{i+1} - x_{i})^{3}}_{=h^{3}} + \dots$$

$$u(x_{i-1}, t_{j}) = u(x_{i}, t_{j}) + u_{x}(x_{i}, t_{j}) \underbrace{(x_{i-1} - x_{i})}_{=-h} + \underbrace{\frac{1}{2}u_{xx}(x_{i}, t_{j})}_{=x_{i}} \underbrace{(x_{i}, t_{j})}_{=x_{i}} \underbrace{(x_{i-1} - x_{i})^{2}}_{=x_{i}} + \underbrace{\frac{1}{6}u_{xxx}(x_{i}, t_{j})}_{=x_{i}} \underbrace{(x_{i-1} - x_{i})^{3}}_{=x_{i}} + \dots$$

Zur Approximationsgüte von Finiten-Differenzen.

Wir erhalten damit

1 bei Zentralen Differenzen

$$\left| u_x(x_i, t_j) - \frac{u(x_{i+1}, t_j) - u(x_{i-1}, t_j)}{2h} \right| = O(h^2)$$

- \Rightarrow Approximation zweiter Ordnung in h.
- 2 bei Vorwärtsdifferenzen

$$\left|u_{x}(x_{i},t_{j})-\frac{u(x_{i+1},t_{j})-u(x_{i},t_{j})}{h}\right|=O(h)$$

- \Rightarrow Approximation erster Ordnung in h.
- Bei Rückwärtsdifferenzen

$$\left| u_{x}(x_{i}, t_{j}) - \frac{u(x_{i}, t_{j}) - u(x_{i-1}, t_{j})}{h} \right| = O(h)$$

 \Rightarrow Approximation erster Ordnung in h.



Finite-Differenzen für skalare Erhaltungsgleichungen.

Wir betrachten das Cauchy-Problem

$$\left\{ \begin{array}{ll} u_t + f(u)_x = 0 & \text{in } \mathbb{R} \times (0, \infty) \\ \\ u = u_0 & \text{auf } \mathbb{R} \times \{t = 0\} \end{array} \right.$$

Mit den Notationen von oben ist ein numerisches Verfahren mit Hilfe von Finiten-Differenzen gegeben durch

$$U_i^{j+1} = U_i^j - \frac{k}{2h} \left(f(U_{i+1}^j) - f(U_{i-1}^j) \right)$$

mit den Anfangsbedingungen

$$U_i^0 = \frac{1}{h} \int_{x_i - h/2}^{x_i + h/2} u_0(x) \, dx$$

Also: Zentrale Differenz im Ort, Vorwärtsdifferenz in der Zeit.

(ロ) (団) (豆) (豆) (豆) (豆)

Finite-Differenzen für skalare Erhaltungsgleichungen.

Beispiel: Wir betrachten das Problem

$$\begin{cases} u_t + uu_x = 0 & \text{in } \mathbb{R} \times (0, \infty) \\ u = u_0 & \text{auf } \mathbb{R} \times \{t = 0\} \end{cases}$$

mit

$$u_0(x) = \begin{cases} 1 & : & x \le 0 \\ -1 & : & x > 0 \end{cases}$$

Die Anfangsbedingung ist gleichzeitig die Lösung für t > 0.

$$U_i^{j+1} = U_i^j - \frac{k}{2h} \left(\frac{(U_{i+1}^j)^2}{2} - \frac{(U_{i-1}^j)^2}{2} \right)$$

$$U_i^0 = \begin{cases} 1 : i < 0 \\ 0 : i = 0 \\ -1 : i > 0 \end{cases}$$

Beobachtung: Funktioniert nicht, Verfahren ist instabil.



Finite-Differenzen für skalare Erhaltungsgleichungen.

Beispiel: Wir betrachten die lineare Advektionsgleichung

$$\begin{cases} u_t + u_x = 0 & \text{in } \mathbb{R} \times (0, \infty) \\ u = u_0 & \text{auf } \mathbb{R} \times \{t = 0\} \end{cases}$$

Zentrale Differenzen im Ort:

$$U_i^{j+1} = U_i^j - \frac{k}{2h} \left(U_{i+1}^j - U_{i-1}^j \right)$$

Funktioniert selbst bei einer linearen Gleichung nicht!

Upwind-Verfahren: Funktioniert unter der CFL-Bedingung k/h < 1

$$U_{i}^{j+1} = U_{i}^{j} - \frac{k}{h} \left(U_{i}^{j} - U_{i-1}^{j} \right)$$

Lax-Friedrichs-Verfahren: Funktioniert wie das Upwind-Verfahren

$$U_i^{j+1} = \frac{U_{i+1}^j + U_{i-1}^j}{2} - \frac{k}{2h} \left(U_{i+1}^j - U_{i-1}^j \right)$$

Finite-Differenzen für die Poissongleichung.

Wir betrachten jetzt Randwertprobleme für die Poissongleichung, also

$$\begin{cases} -u_{xx} = f(x) & : & 0 < x < 1, \ 0 < t \le T \\ u(0) = u(1) = 0 \end{cases}$$

Zunächst benötigen wir eine Approximation der zweiten Ableitung.

$$u_{xx}(x_i) \approx \frac{U_{i+1}-2U_i+U_{i-1}}{h^2}$$

Damit erhalten wir die diskreten Gleichungen

$$\frac{U_{i+1}-2U_i+U_{i-1}}{h^2}=F_i, \quad i=1,\ldots,n-1$$

mit h = 1/n und

$$F_i := f(x_i), \quad U_0 = U_n = 0$$



Finite-Differenzen für die Poissongleichung.

Setzen wir

$$\mathbf{x} = (U_1, \dots, U_{n-1})^T, \qquad \mathbf{b} = (F_1, \dots, F_{n-1})^T$$

so erhalten wir das lineare Gleichungssystem

$$\mathbf{A} \cdot \mathbf{x} = \mathbf{b}$$

mit der Koeffizientenmatrix

$$\mathbf{A} = \begin{pmatrix} 2 & -1 & & & \\ -1 & 2 & -1 & & & \\ & \ddots & \ddots & \ddots & \\ & & -1 & 2 & -1 \\ & & & -1 & 2 \end{pmatrix}$$

Fazit: Die numerische Lösung der Poissongleichung reduziert sich auf ein lineares Gleichungssystem für die Unbekannten U_1, \ldots, U_{n-1} .

Zur numerischen Lösung von Anfangsrandwertproblemen der Form

$$\begin{cases} u_t &= u_{xx} &: 0 < x < 1, 0 < t \le T \\ u(x,0) &= g(x) &: 0 \le x \le 1 \\ u(0,t) &= u(1,t) = 0 &: 0 \le t \le T \end{cases}$$

müssen wir Diskretisierungen für die zweite Ableitung u_{xx} mit einer Differenzenapproximation für die Zeitableitung u_t kombinieren:

Einfachste Möglichkeit: Setzen wir eine Vorwärtsdifferenz für die Zeitableitung an, also

$$u_t(x_i,t_j) = \frac{U_i^{j+1} - U_i^j}{k}$$

so erhalten wir das explizite Verfahren

$$U_i^{j+1} = U_i^j + \frac{k}{h^2} (U_{i+1}^j - 2U_i^j + U_{i-1}^j)$$

→ロト→部ト→重ト→重・約90

Mit der Rückwärtsdifferenz

$$u_t(x_i,t_j)=\frac{U_i^j-U_i^{j-1}}{k}$$

erhalten wir das implizite Verfahren

$$U_i^{j+1} = U_i^j + \frac{k}{h^2} (U_{i+1}^{j+1} - 2U_i^{j+1} + U_{i-1}^{j+1})$$

Fazit: Zur Berechnung der Lösung zur Zeit t_{j+1} muß ein lineares Gleichungssystem gelöst werden!

Eine Konvexkombination beider Verfahren liefert die θ -Methode

$$U_i^{j+1} = U_i^j + \frac{k}{h^2} \left[\theta (U_{i+1}^{j+1} - 2U_i^{j+1} + U_{i-1}^{j+1}) + (1 - \theta)(U_{i+1}^j - 2U_i^j + U_{i-1}^j) \right]$$

Im Fall $\theta = \frac{1}{2}$ erhält man das Crank-Nicholson-Verfahren.

◆ロト ◆園 ト ◆ 恵 ト ◆ 恵 ・ 夕 ♀ ○

Bemerkungen:

Das explizite Verfahren funktioniert nur unter der Bedingung:

$$\frac{k}{h^2} \le \frac{1}{2}$$

Man nennt diese Bedingung eine Stabilitätsbedingung. Verdoppelt man also die Zahl der Gitterpunkte im Ort, muß man entsprechend mit einem vierfach kleineren Zeitschritt arbeiten.

- Das implizite Verfahren ist für alle Werte von k und h stabil.
 Zur Berechnung der Lösung muß man allerdings in jedem Zeitschritt ein lineares Gleichungssystem lösen.
- Bei Verfahren sind erster Ordnung in der Zeit und zweiter Ordnung im Ort,
 d.h. für den Fehler e(T) zwischen der exakten und der numerischen Lösung
 zu einer festen Zeit T > 0 gilt:

$$e(T) = O(k) + O(h^2)$$

← ← □ → ← □ → ← □ → ← □ → へ ○ ○

Bemerkungen:

ullet Die Stabilitätsbedingung für die heta-Methode für $0 \leq heta < \frac{1}{2}$ lautet

$$\frac{k}{h^2} \le \frac{1}{2}(1-2\theta)^{-1}$$

Für $\theta \geq \frac{1}{2}$ ist die θ -Methode stets stabil.

• Das Verfahren von Crank-Nicholson ist zweiter Ordnung in Ort **und** Zeit, für den Fehler e(T) gilt

$$e(T) = O(k^2) + O(h^2)$$

Für keinen anderen Wert von θ gibt es ein entsprechendes Resultat.

Daher ist das Verfahren von Crank-Nicholson ein spezielles Verfahren für die Wärmeleitungsgleichung und wird häufig bei numerischen Berechnungen verwendet.



Kapitel 8: Numerische Lösung partieller Differentialgleichungen

8.1 Die Methode der Finiten-Elemente

Wir beschränken uns auf das eindimensionale Randwertproblem:

$$\begin{cases} -\frac{d}{dx} \left(k(x) \frac{du}{dx} \right) &= f(x), \quad 0 < x < l, \quad k(x) > 0 \\ u(0) &= u(l) = 0 \end{cases}$$

Wesentlicher Unterschied zu Finiten-Differenzen:

Man diskretisiert nicht die gegebene partielle Differentialgleichung, sondern die Lösung der Gleichung und verwendet dabei drei Schritte.

- Schwache Form oder Variationsformulierung,
- @ Galerkin-Methode,
- 3 Approximation durch stückweise definierte Polynome.



Grundlegende Ideen der Methode.

- Man reformuliert das gegebene Problem in einer schwachen Form oder auch Variationsformulierung. Dadurch reduziert sich das Problem auf unendlich viele algebraische Gleichungen in einem Vektorraum, dessen Elemente bereits die vorgegebenen Randwerte erfüllen.
- ② Die Galerkin-Methode reduziert das Problem auf Gleichungen in einem endlich-dimensionalen Finite-Element-Raum, der eine endliche Zahl von Basiselementen besitzt.
- Als Basis des endlich-dimensionalen FE-Raums wählt man stückweise Polynome und erhält damit ein lineares Gleichungssystem mit einer dünn besetzten Koeffizientenmatrix.

Die schwache Form des Randwertproblems.

Sei V gegeben durch

$$V = \{ v \in \mathcal{C}^2[0, I] : v(0) = v(I) = 0 \}$$

Wir multiplizieren nun die gegebene Poissongleichung mit einer Funktion $v \in V$ und integrieren über den Ortsraum [0, I]:

$$-\int_0^1 \frac{d}{dx} \left(k(x) \frac{du}{dx} \right) v(x) dx = \int_0^1 f(x) v(x) dx$$

Mittels partieller Integration erhalten wir

$$\int_0^1 k(x) \, \frac{du}{dx}(x) \, \frac{dv}{x}(x) \, dx = \int_0^1 f(x) \, v(x) \, dx$$

Da $v \in V$ eine beliebige Funktion ist, lautet die schwache Form

4ロ → 4回 → 4 = → 4 = → 9 < 0</p>

Die schwache Form des Randwertproblems.

Finde ein $u \in V$, sodass die Beziehung

$$\int_0^1 k(x) \frac{du}{dx}(x) \frac{dv}{x}(x) dx = \int_0^1 f(x)v(x) dx$$

für alle $v \in V$ erfüllt ist.

Man kann nun zeigen: Erfüllt $u \in V$ die Differentialgleichung

$$-\frac{d}{dx}\left(k(x)\frac{du}{dx}\right)=f(x),$$

so erfüllt u auch die schwache Form von oben, und wichtiger, es gilt ebenfalls die Umkehrung.

Fazit: Beide Darstellungen sind also äquivalent.

Die Galerkin-Methode.

Definieren wir

$$a(u,v) := \int_0^l k(x) \frac{du}{dx}(x) \frac{dv}{x}(x) dx$$

so ist $a(\cdot, \cdot)$ eine symmetrische Bilinearform, die ein inneres Produkt im Vektorraum V darstellt, und mit dem Skalarprodukt

$$(f,v) = \int_0^l f(x) v(x) dx$$

läßt sich die schwache Form folgendermaßen schreiben.

Finde ein
$$u \in V$$
, sodass $a(u, v) = (f, v)$ für alle $v \in V$ gilt

Die Idee der Galerkinmethode ist nun den Vektorraum V durch einen endlich-dimensionalen Raum V_n , den sogenannten Finite-Element-Raum, zu approximieren und dort folgendes Problem zu lösen:

Finde ein
$$v_n \in V_n$$
, sodass $a(v_n, v) = (f, v)$ für alle $v \in V_n$ gilt

- (ロ)(部)(E)(E)(E) (E)(のQC

Die Galerkin-Methode.

Das Problem

Finde ein $v_n \in V_n$, sodass $a(v_n, v) = (f, v)$ für alle $v \in V_n$ gilt

läßt sich auf ein lineares Gleichungssystem reduzieren.

Sei dazu $\{\Phi_1,\ldots,\Phi_n\}$ eine Basis von V_n . Dann besitzt die Lösung v_n die Darstellung

$$v_n = \sum_{j=1}^n u_j \Phi_j$$

Setzen wir dies in die schwache Form ein, so gilt

$$a\left(\sum_{j=1}^n u_j\Phi_j,\Phi_i\right)=(f,\Phi_i),\quad i=1,\ldots,n$$

Aufgrund der Bilinearität von $a(\cdot, \cdot)$ folgt

$$\sum_{j=1}^n a(\Phi_j, \Phi_i) u_j = (f, \Phi_i), \quad i = 1, \dots, n$$

←□ → ←□ → ← = → ← = → へのの

Die Galerkin-Methode.

Aufgrund der Bilinearität von $a(\cdot, \cdot)$ folgt

$$\sum_{j=1}^n \mathsf{a}(\Phi_j,\Phi_i)u_j = (f,\Phi_i), \quad i=1,\ldots,n$$

Setzen wir für i = 1, ..., n

$$a_{ij} = a(\Phi_j, \Phi_i), \quad f_i = (f, \Phi_i),$$

so ergibt sich das lineare Gleichungssystem

$$\mathbf{A} \cdot \mathbf{u} = \mathbf{f}$$

mit der Steifigkeitsmatrix A und dem Lösungsvektor

$$\mathbf{u}=(u_1,\ldots,u_n)^T$$

mit den zu bestimmenden Koeffizienten u_1, \ldots, u_n .



Zur Konstruktion von FE-Räumen.

- **1** Am besten wären FE-Räume V_n , für die man eine Orthogonalbasis aufstellen kann. Dann wäre die Steifigkeitsmatrix eine Diagonalmatrix. Dies ist aber im Allgemeinen nicht möglich.
- Findet man keine Orthogonalbasis, so sollten Steifigkeitsmatrix und die rechte Seite einfach zu berechnen sein.
- 3 Die Basis von V_n sollte fast orthogonal sein, denn dann wäre die Steifigkeitsmatrix nahe bei einer Diagonalmatrix und damit dünn besetzt.
- ① Die exakte Lösung u des Problems sollte möglichst gut durch ein Element aus V_n approximiert werden können und im Grenzwert $n \to \infty$ sollte die Approximation beliebig gut werden.

Daher: Approximation durch stückweise Polynome, zum Beispiel durch eine stückweise lineare Funktion (Beispiel auf Folie).



Ende der Vorlesung.